

第五章 直接吸収したアミノ酸の代謝と植物体内的蓄積分布

第一節 はじめに

窒素は植物の生育に必須の栄養素であり、これまで主に無機態窒素である硝酸イオンやアンモニアイオンの取り込みと、その後のアミノ酸への同化について多くの研究が行われてきた。硝酸イオンやアンモニアイオンは、細胞膜にあるトランスポーターで積極的に細胞内に取り込まれる。細胞内で硝酸イオンは、硝酸還元酵素(NR)によって亜硝酸イオンに還元され、さらに亜硝酸還元酵素(NiR)によってアンモニアイオンに還元される。アンモニアイオンは、グルタミン合成酵素(GS)により、グルタミン酸にアミド基として付加されグルタミンが合成され、グルタミンに取り込まれたアンモニアイオン由來のアミド基が、グルタミン酸合成酵素(GOGAT)により2-オキソグルタル酸に転移し2分子のグルタミン酸が生成される(山谷2001)。このようにしてグルタミンから合成されるグルタミン酸のアミノ基がさらに転移することで他のアミノ酸が合成され、核酸など、ほとんど全ての有機窒素化合物の合成に利用される(彦坂1999)ことが明らかになっている。

土壤中のアミノ酸が、植物生育の養分となるためには、無機態窒素のように細胞膜を通して植物体内に取り込まれ、代謝される必要がある。第三章の結果、アミノ酸はその種類により植物生育に対する影響は異なり、無機態窒素以上の生育を示すアミノ酸や生育を阻害するアミノ酸があることが明らかとなった。この要因として、アミノ酸の種類により吸収量が異なることや、吸収後の代謝過程の相違が考えられるが、アミノ酸ごとの吸収量や代謝に関する報告はほとんどない。Moriら(1979)は、ハダカムギを供試作物とし、生育を良くするアミノ酸としてアルギニン、阻害するアミノ酸としてヒスチジンを取り上げ、吸収後の代謝過程の違いを検討しているが、本研究で用いたイネ幼植物では、アルギニンは無機態窒素より窒素吸収量が劣っており、ハダカムギと吸収や代謝に違いがあると考えられる。

また、第四章よりアミノ酸は直接吸収されることが明らかになっているが、吸収されたアミノ酸態窒素の植物体内でどのように分布し、利用されていくのかはアミノ酸を窒素源として考えたときには興味深い課題である。硝酸イオンやアンモニアイオンなど無機態の窒素形態でも体内分布の相異が報告(米山ら1972)されており、アミノ酸態窒素の分布も無機態窒素と比べて異なることが予想される。

さらに、アミノ酸は、通常無機態窒素がエネルギーを使って光合成同化産物と同化した分子であり、吸収され

たアミノ酸の代謝が植物体内ですすめば、窒素成分だけでなく、アミノ酸の分解から生じるエネルギーも獲得することが期待できる。窒素源としてのアミノ酸とアンモニアイオンのこれらの比較は、今後、有機質肥料と化学肥料の違いや、有機質肥料の特徴につながると考えられる。

以上のように本章では、異なるアミノ酸ごとの吸収速度の違いを検討し、吸収されたアミノ酸の代謝や窒素、炭素の蓄積分布について、安定同位体標識アミノ酸を用いた実験を行い、さらに、吸収されたアミノ酸態炭素の分解より得られるエネルギーについても検討した。供試したアミノ酸は、主に、生育が良かったグルタミン、アラニン、および生育を阻害したバリンを用いた。特にグルタミンは、第三章において供試した全ての植物(イネ、コムギ、ダイズ、チンゲンサイ、キュウリ)で無機態窒素より生育がよく、吸収されたグルタミンが植物の体内でどのように代謝され、窒素源として利用されているかを解析することで、アミノ酸の生育促進効果の要因の解明につながると考えられる。

第二節 異なる種類のアミノ酸ごとの吸収

(1) 目的

前章までの実験により、与えたアミノ酸の種類によって、イネ幼植物の生育には大きな差が生じることが明らかとなった。根から取り入れられたアミノ酸が、植物生育の養分となるためには、無機態窒素のように細胞膜を通して植物体内に取り込まれ、代謝される必要がある。本節では、異なる種類のアミノ酸を3段階の濃度で吸収させたときの溶液の減少量や吸収量について検討を行うとした。供試するアミノ酸は、第三章より、無機態窒素より生育が促進されたグルタミン、アラニン、生育を阻害したセリン、バリン、およびアラニンの光学異性体のD-アラニンを用いた。

(2) 試験方法

供試作物はイネ(*Oryza sativa L.* 日本晴)を用いた。種子サンプルは糊殻を外した玄米を5%次亜塩素酸ナトリウムと1%tritonXの混合液で15分振とうし、新しい溶液と交換する操作を3回繰り返し行った。この滅菌操作後、滅菌水で完全に溶液が置換できるまで洗浄したものを寒天に播種し、28℃で3日間保温して発芽させた。121℃、20分の熱加圧処理した窒素成分抜き改变木村氏B液25mLを50mL遠沈管に分注し、発芽種子を1個体移植した。この遠沈管4本を組織培養用プラントボックス(60mm×60mm×100mm)に入れ、同型のプラントボックスを上からかぶせて密封し、無菌栽培した。人

工気象器にて、温度 28 ℃、明期 18/ 暗期 6 時間で移植後 6 日間栽培した。7 日目に、窒素成分抜き改変木村氏 B 25 mL に ^{14}C -放射性同位体元素(全て 2.5 kBq/mL) で標識した下記の各アミノ酸を用いて、窒素濃度が 25, 100, 1000 μM となる溶液に交換し、吸収試験とした。

$^{14}\text{C-L-グルタミン}$	$^{14}\text{CO}(\text{NH}_2)\text{CH}_2\text{CH}_2\text{CH}(\text{NH}_2)\text{COOH}$
$^{14}\text{C-L-アラニン}$	$^{14}\text{CH}_3\text{CH}(\text{NH}_2)\text{COOH}$
$^{14}\text{C-L-セリン}$	$^{14}\text{CH}_2\text{OHCH}(\text{NH}_2)\text{COOH}$
$^{14}\text{C-L-バリン}$	$\text{CH}(\text{CH}_3)_2\text{CH}(\text{NH}_2)\text{COOH}$
$^{14}\text{C-D-アラニン}$	$\text{CH}_3\text{CH}(\text{NH}_2)\text{COOH}$

経時的(試験開始初期は 30 分)に 24 時間後まで溶液を 50 μL 採取し、液体シンチレーションカクテル(MicroScint-40™, パーキンエルマー)を 150 μL 添加後よく攪拌して、マイクロプレートシンチレーションカウンタ(1450 MicroBeta Trilux, パーキンエルマー)で溶液中の ^{14}C を測定して、水耕液からのアミノ酸の減少率を算出した。なお、試験期間中の蒸散による溶液減少に伴う濃縮は、水耕液の重量測定後の計算により補正した。また、3, 12, 24 時間にイネ幼植物を採取し、地下部を 1 M CaCl_2 液で 30 秒ずつ 3 回洗浄した後、イメージングプレート(富士写真フィルム 以下 IP)にコンタクトした。3 日間冷凍庫内でコンタクトした後、スキャナー

(1450 MicroBeta Trilux, パーキンエルマー)で溶液中の ^{14}C を測定して、水耕液からのアミノ酸の減少率を算出した。なお、試験期間中の蒸散による溶液減少に伴う濃縮は、水耕液の重量測定後の計算により補正した。また、3, 12, 24 時間にイネ幼植物を採取し、地下部を 1 M CaCl_2 液で 30 秒ずつ 3 回洗浄した後、イメージングプレート(富士写真フィルム 以下 IP)にコンタクトした。3 日間冷凍庫内でコンタクトした後、スキャナー

(FLA-5000, 富士写真フィルム)で画像の読み出しを行った。得られた画像を、画像解析ソフト(Image Gauge, 富士写真フィルム)により、植物体の各部位における輝度値を測定し、 ^{14}C の地上部および地下部における分布量を算出した。

(3) 試験結果と考察

A アミノ酸の種類による吸収量について

溶液中の ^{14}C -アミノ酸の減少量を図 5-2-1 に、植物個体当たりの吸収量を図 5-2-2 に示した。

水耕液のアミノ酸濃度はいずれの種類のアミノ酸でも減少しており、また ^{14}C -アミノ酸の添加量は濃度によらず一定としたため、窒素濃度が薄いほど ^{14}C -アミノ酸の減少率は多かった。

24 時間後の吸収量は、窒素濃度によらず、L-グルタミン、L-アラニン、L-セリン >> L-バリン、D-アラニンであった。第三章の結果から、生育良好なアミノ酸としてグルタミン、L-アラニン、生育を阻害するアミノ酸としてセリン、バリン、D-アラニンを供試したが、セリンを除くと、生育が良好であったアミノ酸(グルタミン、L-アラニン)の吸収量が、生育を阻害するアミノ酸(バリン、D-アラニン)よりも多い結果が得られた。

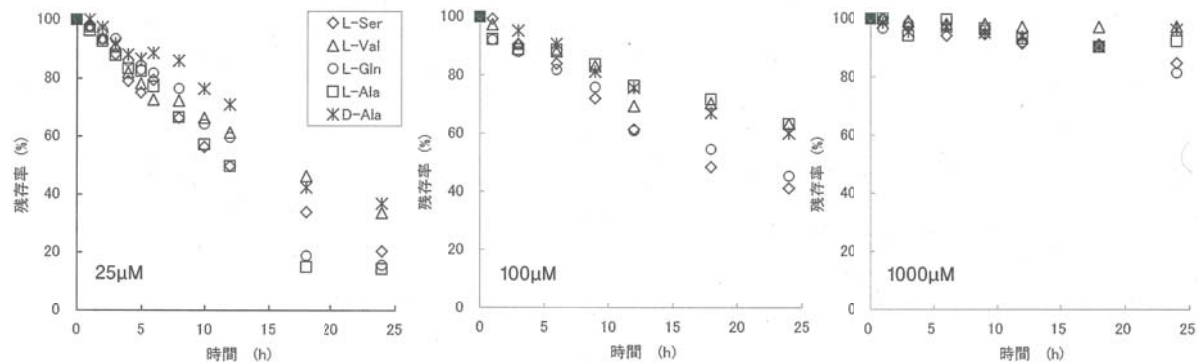


図 5-2-1 イネ幼植物に異なるアミノ酸溶液を 3段階の濃度で吸収させた時の溶液中のアミノ酸の残存率
(初期吸収濃度を 100 とする)

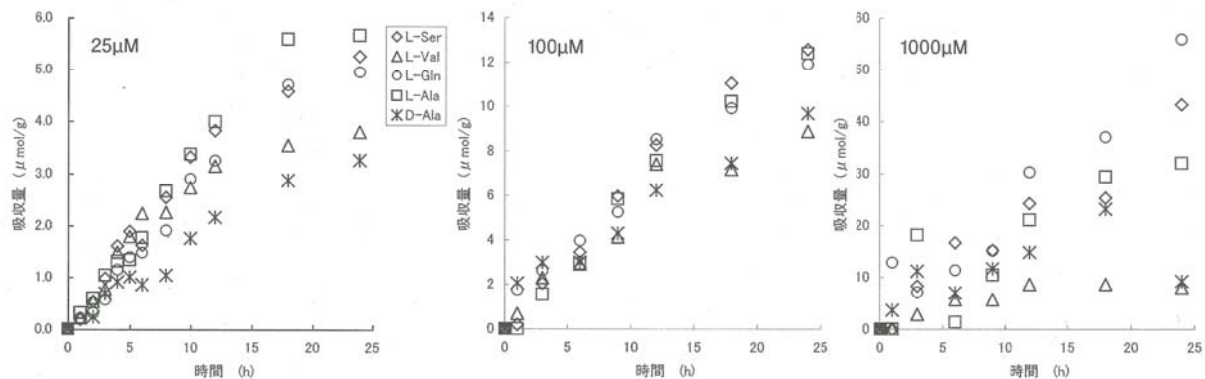


図 5-2-2 異なるアミノ酸溶液を 3段階の濃度で吸収させたイネ幼植物の吸収量

B オートラジオグラフィー像

3、12、24時間吸収後のイネ幼植物のオートラジオグラフィー像と、24時間吸収後のオートラジオグラフィー像から求めた地上部と地下部の輝度値を図5-2-3(窒素濃度25μM)、図5-2-4(窒素濃度100μM)、図5-2-5(窒素濃度1000μM)に示した。24時間後の輝度値は、窒素濃度25μMでは、セリン、バリン>>D-アラニン、L-アラニン、グルタミンとなり、100μMではD-アラニン、バリン>>セリン>L-アラニン、グルタミン、1000μMではバリン>セリン>D-アラニン>グルタミン、L-アラニンとなった。濃度が低いと地下部の割合が高く、濃度が高くなる程、地下部の割合が低下し、吸収したアミノ酸を地上部への移行量が多くなっていた。

C 考察

図5-2-3～5のオートラジオグラフィー像は、¹⁴Cで標識したアミノ酸の吸収実験後のイネ幼植物体内¹⁴Cの分布図である。水耕液中の¹⁴C減少量と植物体内に取り込んだ¹⁴Cとは当然相関があると考えられたが、オートラジオグラフィー像から求めた輝度値と減少量を比較すると、減少量と輝度値が比例しておらず、グルタミンやL-

アラニンなどの吸収量が多いアミノ酸の輝度値が低いという結果が得られた。これは、吸収されたアミノ酸が代謝され、早期に分解されて、¹⁴Cが植物体外へ放出されていることが要因と推測された。吸収したアミノ酸が速やかに代謝されれば、アミノ酸として吸収した窒素や炭素は他のアミノ酸やタンパク質、有機酸などに変換され、炭素の一部は呼吸により体外へ放出される。つまり、グルタミン、L-アラニンの吸収量は多いが、植物体内で円滑に代謝されるため、代謝および呼吸により二酸化炭素として体外に放出される¹⁴Cも多くなり、オートラジオグラフィー像では輝度値が低くなったのではないかと考えられた。一方、バリン、D-アラニンは植物体内に吸収はされるが、代謝されにくいため、¹⁴Cは体内に蓄積する理由で、吸収量が少ないにも関わらず輝度値が高い結果となつたと推測された。

そこで、¹⁵N、¹³C-二重標識アミノ酸を用いて、第三節では吸収したアミノ酸態窒素と炭素の植物体地下部と地上部への分配、利用について、第四節ではアミノ酸吸収後の植物体内の遊離アミノ酸の組成と代謝について、さらに詳細に検討することとした。

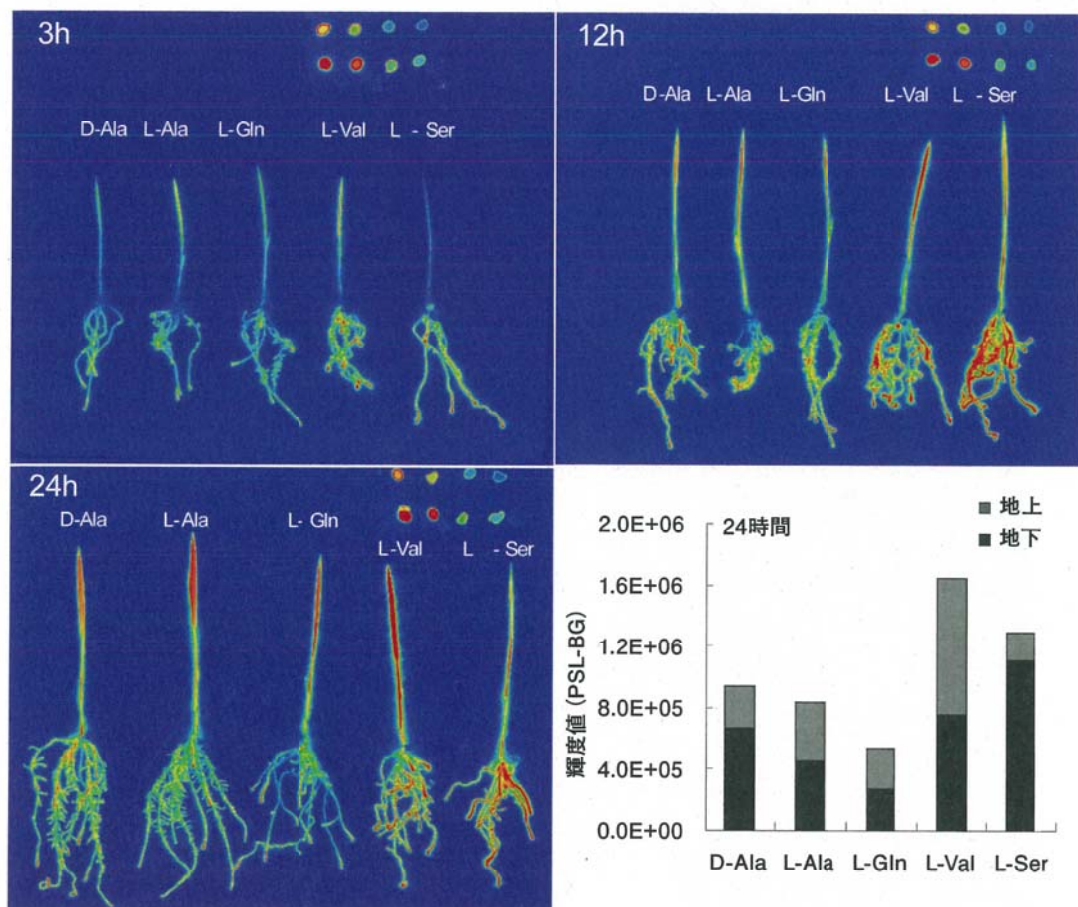


図5-2-3 25μMアミノ酸を吸収させたイネ幼植物のオートラジオグラフィー像(3,12,24時間後)および地上・地下部の輝度値(24時間後)

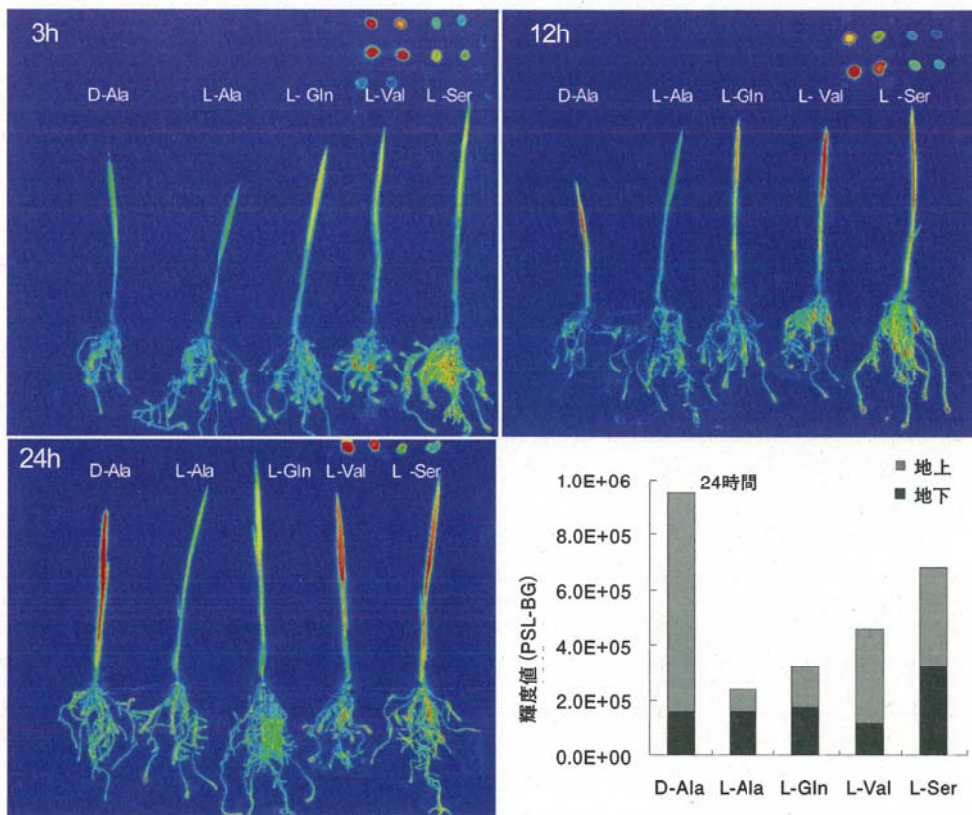


図 5-2-4 100μM アミノ酸を吸収させたイネ幼植物のオートラジオグラフィー像 (3,12,24 時間後)
および地上・地下部の輝度値 (24 時間後)

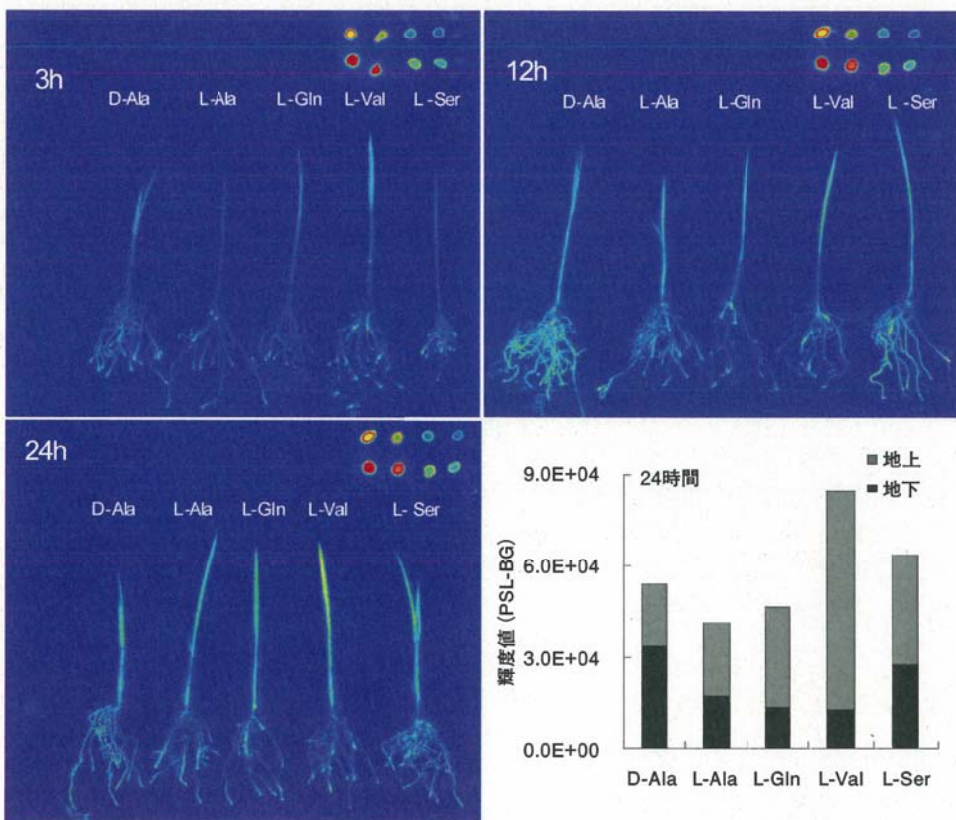


図 5-2-5 1000μM アミノ酸を吸収させたイネ幼植物のオートラジオグラフィー像 (3,12,24 時間後)
および地上・地下部の輝度値 (24 時間後)

第三節 直接吸収したアミノ酸の構成窒素および炭素の地下部から地上部への移行およびアミノ酸から得られるエネルギーについて

(1) 目的

前節では¹⁴C-アミノ酸を用いて、アミノ酸の吸収量および吸収したアミノ酸の植物体内分布を検討した。その結果、吸収量（溶液の減少量）と、オートラジオグラフィー像の輝度値による吸収実験後の植物体内の存在量が一致しないことから、炭素（¹⁴C）成分が植物体から放出していることが示唆された。放出された炭素を植物体内での呼吸による二酸化炭素の放出と考えれば、呼吸により植物はエネルギーを獲得していると考えられる。したがって、吸収されたアミノ酸の炭素の減少量からエネルギーの獲得量を算出できれば、アミノ酸の直接吸収の意義が高まる。

また、吸収されたアミノ酸態窒素の植物体内での分布についても、アミノ酸を窒素源として考えたときには大変興味深い課題である。無機態窒素形態でも体内分布の相異があり、アミノ酸態窒素の分布も無機態窒素と比べて異なることが予想される。

そこで、異なる窒素形態（グルタミン、アラニン、バリン、塩化アンモニウム）の窒素を安定同位体二重標識アミノ酸として与えた後の植物体地上部と地下部の標識窒素および標識炭素存在量の測定を行った。

(2) 試験方法

供試作物はイネ (*Oryza sativa L.* 日本晴) を用いた。第一節と同様な種子滅菌を行った後、発芽した種子を無窒素の改变木村氏B液で6日間無菌的に水耕栽培した。7日目に、生育の揃ったイネ幼植物を供試溶液に移植し、生育時と同じ人工気象器内にて24時間明条件での吸収実験を行った。供試溶液は、窒素成分抜き改变木村氏B液25mℓに、以下の¹⁵N,¹³C-二重標識安定同位体アミノ酸（¹⁵N,¹³C 98 atom%、昭光通商）と¹⁵N-安定同位体塩化アンモニウム（¹⁵N 98 atom%、昭光通商）を、窒素成分で25μM、100μM、1000μMとなるように添加した。

(U-)¹⁵N,¹³C-L-グルタミン



(U-)¹⁵N,¹³C-L-アラニン



(U-)¹⁵N,¹³C-L-バリン



¹⁵N-塩化アンモニウム ¹⁵NH₄Cl

吸収実験後、植物体を回収し、氷冷水で30秒ずつ3

回根を洗い、地上部と地下部に分離し80℃で一昼夜乾燥させ乾燥重を測定した。試料を2mℓエッペンチューブに入れ、液体窒素で凍結しながら、ペッセルにて微粉碎した。安定同位体比の測定は、粉碎サンプルを約3mgずつスズカプセルに包み、同位体比質量分析装置(Delta V, Thermo Fisher Scientific K.K.)にて、atom%¹⁵N(¹⁵N/(¹⁴N+¹⁵N))、atom%¹³C(¹³C/(¹²C+¹³C))を測定した。同位体標識アミノ酸（グルタミン、アラニン、バリン）および同位体標識塩化アンモニウムを吸収した試料のatom%¹⁵N（またはatom%¹³C）から、通常のアミノ酸および塩化アンモニウムを吸収した試料のatom%¹⁵N（またはatom%¹³C）を引き、atom%¹⁵N excess（またはatom%¹³C excess）とした（以後atom%¹⁵Neまたはatom%¹³Ceと表記）。植物中の全窒素（または全炭素）量とatom%¹⁵Ne（またはatom%¹³Ce）から、吸収した窒素（または炭素）量(μmol)を算出し、地上部/地下部比、¹³Ce/¹⁵Ne比を求めた。

また、より長期間アミノ酸を吸収させた時の代謝の追跡を行うため、イネを発芽後、窒素濃度1000μMの安定同位体標識アミノ酸及び塩化アンモニウムを用いた水耕液で6日間無菌的に水耕栽培した。長期的な吸収で栽培後イネ幼植物のatom%¹⁵N（またはatom%¹³C）が高くなり、同位体比質量分析装置の測定範囲を超えることが予想されたため、安定同位体アミノ酸は1/10とし、残りは通常のアミノ酸を用い溶液を作成した。抽出、測定は上記と同様に行った。

さらに、6日間生育したイネ幼植物の結果から、吸収したアミノ酸から得るエネルギーについて、次の二式を用いて評価した。一つ目は、植物の生育量は光合成量と呼吸量のバランスで決まるとする(Tanaka et al. 1968) 次式で示される成長効率(Growth Efficiency, GE)を用いた。

$$GE = \Delta W / (\Delta W + R)$$

ΔW:一定期間内における乾物増加量(mg)

R:呼吸量(mgCO₂)をグルコース量に換算

(CH₂O/CO₂)の比0.68を乗じる、mgCH₂O)

なお、作物の生育期における生長効率は60～65%とされている(Yamaguchi 1978)。本節ではGEを0.6とし、栽培後の乾物重から得られる呼吸量(成長に必要な呼吸量)に対し、アミノ酸の分解(植物体内からの炭素の減少量)で生じる呼吸量を評価した。

二つ目は、植物体を構成する各種成分を、グルコースより合成する効率について、生化学的な代謝系に基づいて試算された生産効率(production value, PV)を用いた(Penning et al. 1974)。PVはグルコース1gからの合成量とされ、タンパク質、脂肪、炭水化物でそれぞれ0.40g、0.33g、0.83gである。この考えに基づきSinclair

et al.(1975) は、1g のグルコースから、イネでは 0.75g の収穫部位が合成されるとしている。この PV 値を用いて、栽培後の乾物重をグルコース量に変換し、グルコースの合成に必要なエネルギーと、アミノ酸の分解から得られる ATP 量をエネルギーに換算して比較した。

なお、グルコースの合成には 12NADPH と 18ATP を必要とし、NADPH の酸化と ATP の加水分解による自由エネルギーがそれぞれ 220kJ/mol、30.5kJ/mol から、グルコース合成に必要なエネルギーは 3189kJ/mol とした。また、グルタミン態の炭素はその炭素骨格から 2- オキソグルタル酸 (C=5)、アラニンはピルビン酸 (C=3) として TCA 回路に取り込まれるとした。TCA 回路 1 サイクルで 2 分子の CO₂ と 30 分子の ATP を生産するため、炭素数 5 の 2- オキソグルタル酸の分解は 2.5 サイクル(70 ATP の生産) と仮定した。ピルビン酸の分解は、TCA 回路に入る前に 3ATP が生産されるため TCA 回路を含め 1 サイクルで 2 分子の CO₂ と 33 分子の ATP を生産し、炭素数 3 のピルビン酸の分解は 1.5 サイクル (49.5 ATP の生産) と仮定した。バリンの TCA 回路内での分解は明確ではなかったため、炭素数から 2 - オキソグルタル酸としてグルタミンと同様に計算した。

(3) 試験結果と考察

A 溶液の減少量とイネ幼植物の吸収量

表 5-3-1 と図 5-3-1 に水耕液からの ¹⁵N と ¹³C の減少量と植物の地上部と地下部の存在量を示した。24 時間後の吸収量は、塩化アンモニウムで最も多く、バリンが最も少なかった。溶液の ¹⁵N 減少量に対する植物の ¹⁵Ne 吸收量は、85% 以上ではほぼ同じとなったが、¹³C の減少量に対する植物の ¹³Ce 存在量は、グルタミン、アラニンでは 38 ~ 47%、バリンでは 62 ~ 70% であり、窒素に対してかなり低いものもあり、前節で示唆された植物体から気体となり体外へ放出されていることが確認された。

表 5-3-1 異なる濃度の ¹⁵N, ¹³C-アミノ酸および ¹⁵N- 塩化アンモニウム溶液の 24 時間後の
減少量とイネ幼植物体中の ¹⁵N, ¹³C 存在量

分子中 の 窒素数 (μmol)	溶液 (25ml) 中の ¹⁵ N 量			¹⁵ N-減少率			¹⁵ N-減少量			¹⁵ N-存在量			¹⁵ N-存在量 / ¹⁵ N-減少量			
	25ml	100μM	1000μM	25μM	100μM	1000μM	25μM	100μM	1000μM	25μM	100μM	1000μM	25μM	100μM	1000μM	
				(%)	(%)	(%)	(μmol)	(μmol)	(μmol)	(μmol)	(μmol)	(μmol)	(%)	(%)	(%)	
NH ₄ ⁺	1	0.6	2.5	25.0	97	96	68	0.6	2.4	16.9	0.6	2.3	16.5	98	97	98
Gln	2	0.6	2.5	25.0	83	50	11	0.5	1.2	2.8	0.5	1.1	2.5	92	91	91
Ala	1	0.6	2.5	25.0	70	29	10	0.4	0.7	2.4	0.4	0.6	2.0	87	91	85
Val	1	0.6	2.5	25.0	66	31	5	0.4	0.8	1.2	0.4	0.7	1.1	96	94	94

¹³C

分子中 の 炭素数 (μmol)	溶液 (25μmol) 中の ¹³ C 量			¹³ C-減少率			¹³ C-減少量			¹³ C-存在量			¹³ C-存在量 / ¹³ C-減少量			
	25μM	100μM	1000μM	25μM	100μM	1000μM	25μM	100μM	1000μM	25μM	100μM	1000μM	25μM	100μM	1000μM	
				(%)	(%)	(%)	(μmol)	(μmol)	(μmol)	(μmol)	(μmol)	(μmol)	(%)	(%)	(%)	
NH ₄ ⁺	5	1.6	6.3	62.5	83	50	11	1.3	3.1	6.9	0.6	1.4	2.6	48	45	38
Gln	3	1.9	7.5	75.0	70	29	10	1.3	2.1	7.1	0.5	1.0	2.7	40	47	38
Ala	5	3.1	12.5	125.0	66	31	5	2.1	3.8	5.8	1.3	2.7	3.6	65	70	62

B 植物体体内 ¹⁵Ne 存在量から算出した ¹³C の減少率

表 5-3-2 に、植物体地上部と地下部の ¹⁵Ne 存在量から算出した ¹³C の減少率を示した。24 時間吸収後のグルタミンでは、水耕液濃度が低いと地下部の ¹³C 減少率が高く、吸収されたグルタミンの分解が主に地下部で行われ、地上部への移行は少ないと推測された。濃度が高くなると地上部、地下部とも ¹³C 減少率が同様となった。アラニンは、地上部での ¹³C 分解が多かった。バリンは、地上部に比べて地下部での減少率が高いが、グルタミン、アラニンに比べると ¹³C 減少率は低かった。6 日間生育したイネ幼植物体でも、24 時間吸収後とほぼ同様な値となった。

C 植物体体内の ¹⁵Ne, ¹³Ce 存在量と全窒素 (炭素)

に対する ¹⁵Ne (¹³Ce) 比率 (Atom%) について

表 5-3-3 に全窒素 (炭素) に対する ¹⁵Ne (¹³Ce) の比率 (Atom%) を示し、図 5-3-2、図 5-3-3 に地上部および地下部の全窒素 (あるいは炭素) 量と ¹⁵Ne (あるいは ¹³Ce) 量を示した。植物体内の ¹⁵Ne 存在量は、各濃度とも、塩化アンモニウム >> グルタミン > アラニン > バリンとなり、¹³Ce の存在量は、バリン >> グルタミン、アラニンであった。

24 時間吸収試験を実施したイネ幼植物の植物体全体の全窒素に占める ¹⁵Ne の割合 (Ne atom%) は、塩化アンモニウムの吸収量が高く、溶液濃度が 1000μM では、グルタミンが 16.1 %、アラニンが 15.7 %、バリンが 8.1 % に対して、塩化アンモニウムが 54.0 % であった。発芽から 6 日間吸収試験を実施したイネ幼植物の植物体全体の全窒素に対する ¹⁵Ne の割合は、塩化アンモニウムが 71.9%、グルタミンが 61.2 %、アラニンが 48.2 %、バリンが 27.0 % であった。地上部と地下部の比較をすると、25μM では各条件とも、地下部が地上部より高かったが、1000μM では塩化アンモニウムで地上部が高くなり、各アミノ酸ではほぼ同じ割合であった。

全炭素に対する ¹³Ce の割合 (Ce atom%) は、バリン

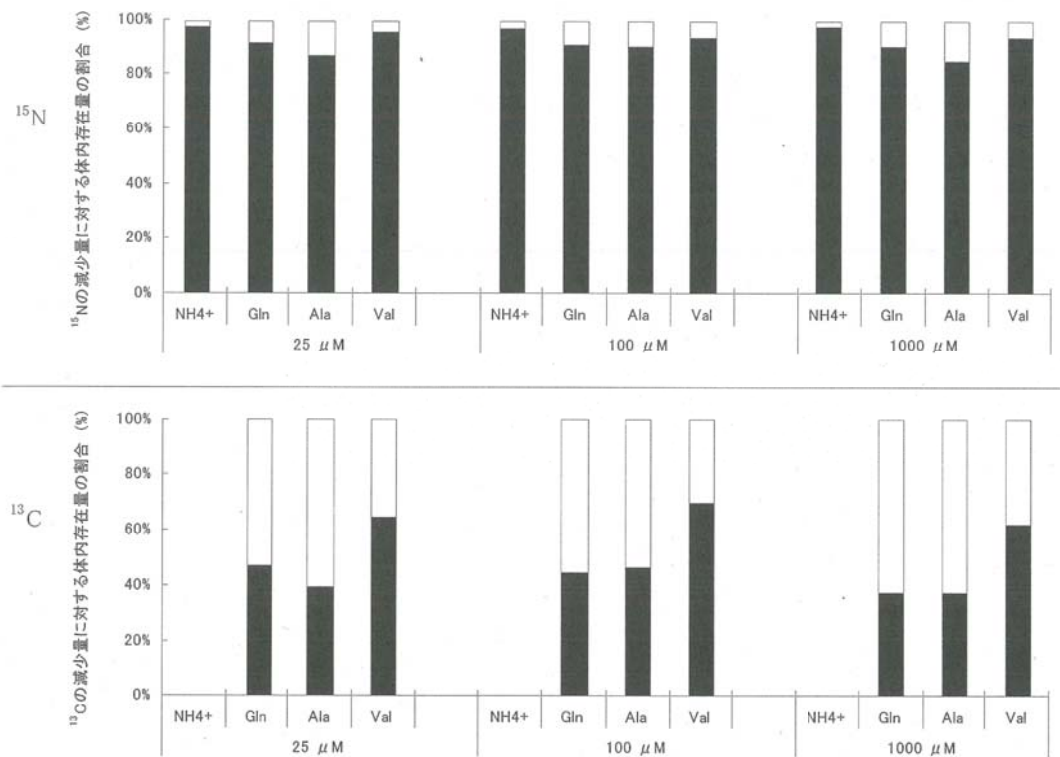


図 5-3-1 異なる濃度の ¹⁵N, ¹³C-アミノ酸および ¹⁵N- 塩化アンモニウム溶液の 24 時間後の減少量に対するイネ幼植物体中の ¹⁵N, ¹³C 存在量割合 (24 時間後の減少量を 100 とする)

表 5-3-2 異なる濃度の ¹⁵N, ¹³C-アミノ酸および ¹⁵N- 塩化アンモニウムを 24 時間または 6 日間吸収させたイネ幼植物体内の ¹⁵N 存在量から算出した ¹³C の減少率

・24 時間

窒素濃度	¹⁵ Ne			¹³ Ce			¹³ C の減少率		
	地上 (μmol)	地下 (μmol)	全体 (μmol)	地上 (μmol)	地下 (μmol)	全体 (μmol)	地上 (%)	地下 (%)	全体 (%)
25 μM	NH ₄ ⁺	0.36	0.23	0.59					
	Gln	0.18	0.30	0.48	0.29	0.32	0.61	36	56
	Ala	0.12	0.26	0.38	0.15	0.37	0.52	57	53
	Val	0.19	0.20	0.40	0.88	0.46	1.34	10	54
100 μM	NH ₄ ⁺	1.59	0.74	2.33					
	Gln	0.59	0.54	1.13	0.79	0.59	1.38	46	57
	Ala	0.30	0.35	0.65	0.34	0.66	1.01	62	36
	Val	0.35	0.37	0.72	1.54	1.14	2.68	13	38
1000 μM	NH ₄ ⁺	13.29	3.23	16.52					
	Gln	1.72	0.79	2.51	1.73	0.88	2.61	60	55
	Ala	1.14	0.89	2.03	1.36	1.33	2.69	60	50
	Val	0.41	0.69	1.09	1.48	2.16	3.64	27	37

・6 日間

窒素濃度	¹⁵ Ne			¹³ Ce			¹³ C の減少率		
	地上 (μmol)	地下 (μmol)	全体 (μmol)	地上 (μmol)	地下 (μmol)	全体 (μmol)	地上 (%)	地下 (%)	全体 (%)
1000 μM	NH ₄ ⁺	22.39	1.35	23.74					
	Gln	19.02	5.28	24.30	20.83	6.74	27.57	56	49
	Ala	5.86	2.47	8.33	6.95	4.79	11.74	61	35
	Val	1.42	0.30	1.72	5.08	0.91	5.99	28	40

表 5-3-3 ^{15}N , ^{13}C -アミノ酸および ^{15}N -塩化アンモニウムを 24 時間または 6 日間吸収させたイネ幼植物の地上部と地下部の ^{15}N , ^{13}C の存在量

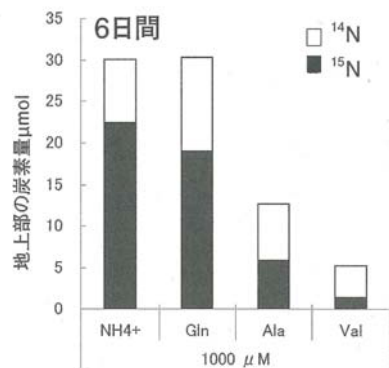
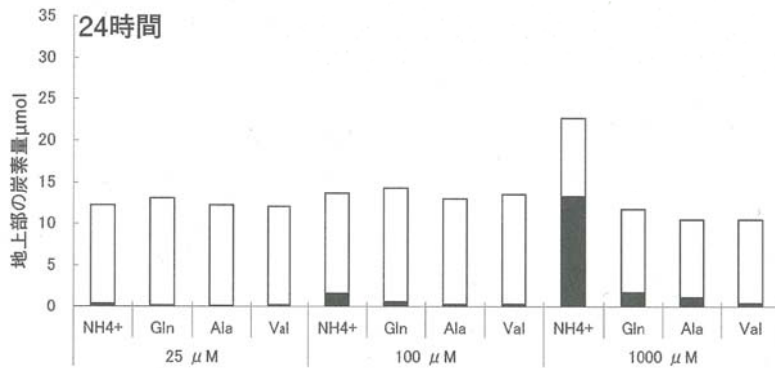
・24時間

窒素濃度	乾物重			^{15}Ne						^{13}Ce						C/N			$^{13}\text{Ce}/^{15}\text{Ne}$		
				地上	地下	全体	地上	地下	全体	地上	地下	全体	地上	地下	全体	地上	地下	全体	地上	地下	全体
	(mg)	(mg)	(mg)	(μmol)	(μmol)	(μmol)	(atom%)	(atom%)	(atom%)	(μmol)	(μmol)	(μmol)	(atom%)	(atom%)							
25 μM	NH ₄ ⁺	8.7	3.7	12.4	0.36	0.23	0.59	1.7	3.0	4.3	3.4	0.29	0.32	0.61	0.9	0.1	0.2	0.1	21.1	26.3	22.7
	Gln	9.4	4.5	13.8	0.18	0.30	0.48	0.7	1.4	4.8	2.5	0.79	0.59	1.38	1.3	0.2	0.4	0.2	21.0	26.0	22.6
	Ala	8.9	3.9	12.8	0.12	0.26	0.38	0.5	1.0	6.1	2.5	0.34	0.66	1.01	0.5	0.1	0.5	0.2	21.4	32.6	24.8
	Val	8.2	3.8	12.0	0.19	0.20	0.40	1.0	1.7	4.5	2.6	0.88	0.46	1.34	1.9	0.3	0.5	0.3	20.2	31.4	23.7
100 μM	NH ₄ ⁺	9.3	3.8	13.1	1.59	0.74	2.33	2.3	11.9	14.8	12.7	0.79	0.59	1.38	1.3	0.2	0.4	0.2	20.0	28.7	22.5
	Gln	10.1	4.2	14.3	0.59	0.54	1.13	1.1	4.0	10.8	6.0	0.79	0.59	1.38	1.3	0.2	0.4	0.2	20.8	28.5	23.0
	Ala	9.1	3.5	12.6	0.30	0.35	0.65	0.9	2.3	9.0	4.2	0.34	0.66	1.01	0.5	0.1	0.5	0.2	20.7	31.1	23.6
	Val	9.5	3.8	13.3	0.35	0.37	0.72	1.1	2.5	8.0	4.1	1.54	1.14	2.68	1.4	0.4	0.8	0.5	20.7	28.8	23.0
1000 μM	NH ₄ ⁺	9.5	4.8	14.3	13.29	3.23	16.52	4.2	57.9	46.2	54.0	1.73	0.88	2.61	1.9	0.7	0.8	0.7	21.1	29.6	23.8
	Gln	8.9	4.1	12.9	1.72	0.79	2.51	2.1	14.0	20.7	16.1	1.73	0.88	2.61	1.9	0.7	0.8	0.7	21.1	29.6	23.8
	Ala	9.0	3.8	12.9	1.14	0.89	2.03	1.3	10.9	27.0	15.7	1.36	1.33	2.69	1.0	0.5	1.3	0.8	24.2	30.8	26.2
	Val	9.2	4.4	13.7	0.41	0.69	1.09	0.6	4.0	16.6	8.1	1.48	2.16	3.64	0.7	0.6	1.8	1.0	24.9	28.5	26.1

・6日間

窒素濃度	乾物重			^{15}Ne						^{13}Ce						C/N			$^{13}\text{Ce}/^{15}\text{Ne}$		
				地上	地下	全体	地上	地下	全体	地上	地下	全体	地上	地下	全体	地上	地下	全体	地上	地下	全体
	(mg)	(mg)	(mg)	(μmol)	(μmol)	(μmol)	(atom%)	(atom%)	(atom%)	(μmol)	(μmol)	(μmol)	(atom%)	(atom%)							
1000 μM	NH ₄ ⁺	12.0	1.6	13.6	22.39	1.35	23.74	17.7	74.9	48.3	71.8	20.83	6.74	27.57	3.7	6.8	4.8	6.2	10.7	16.9	12.5
	Gln	11.1	4.7	15.8	19.02	5.28	24.30	4.5	62.7	61.0	61.2	6.95	4.79	11.74	1.7	3.2	3.6	3.4	18.3	25.8	21.0
	Ala	8.1	4.6	12.7	5.86	2.47	8.33	2.7	48.0	48.7	48.2	5.08	0.91	5.99	5.6	8.1	3.0	6.8	13.9	23.7	16.3
	Val	2.4	0.8	3.2	1.42	0.30	1.72	4.8	28.3	23.1	27.0	5.08	0.91	5.99	5.6	8.1	3.0	6.8	13.9	23.7	16.3

地上部



地下部

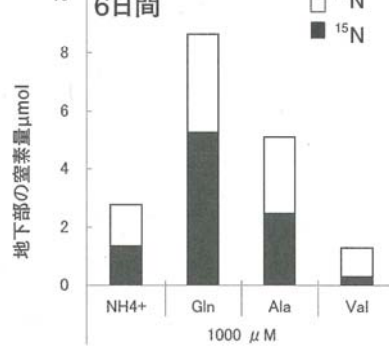
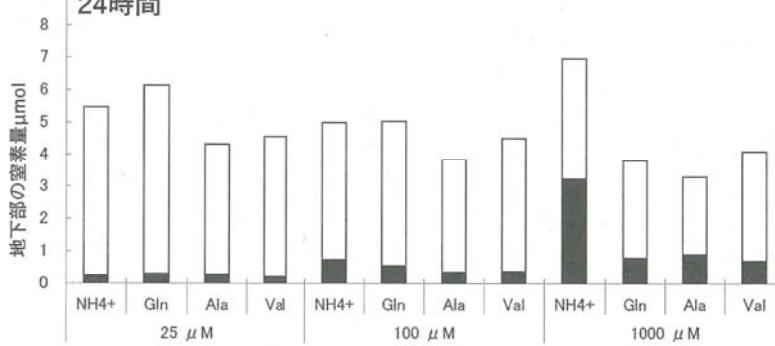


図 5-3-2 異なる濃度の ^{15}N , ^{13}C -アミノ酸および ^{15}N -塩化アンモニウムを 24 時間または 6 日間吸収させたイネ幼植物の地上部、地下部の窒素量

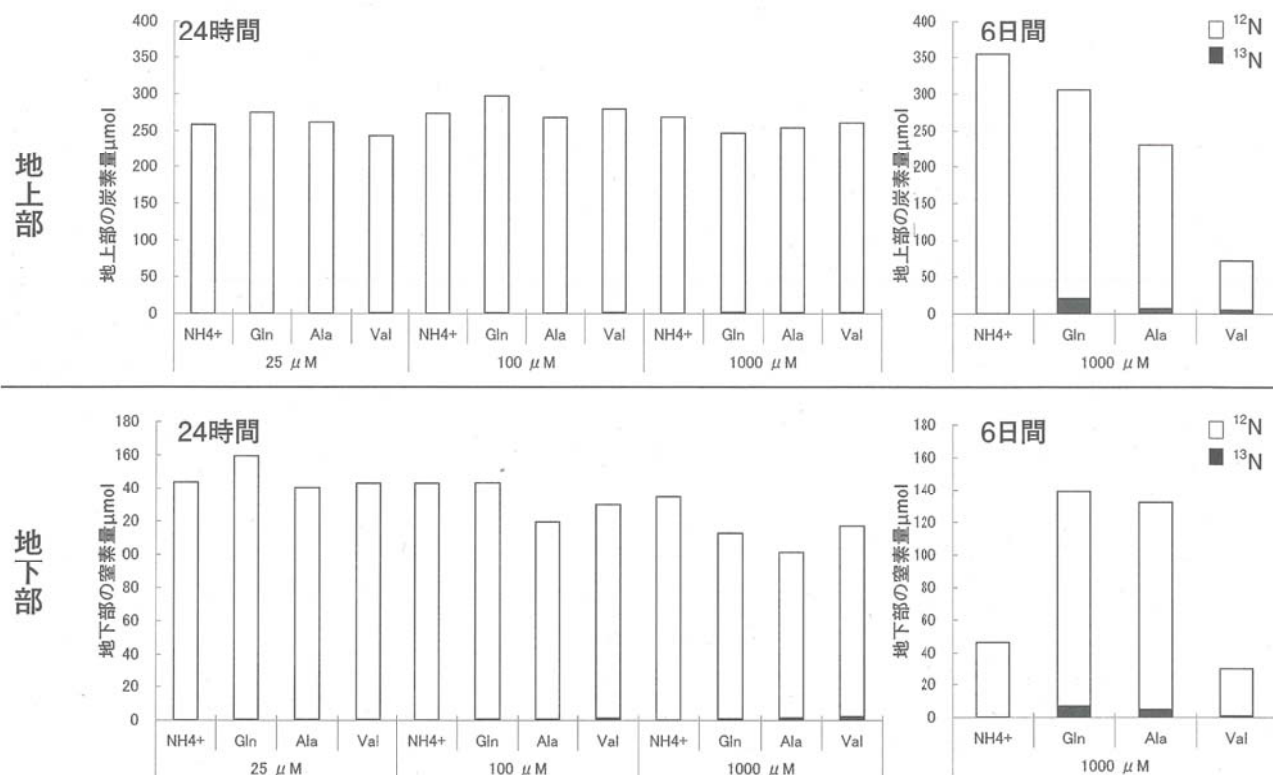


図 5-3-3 異なる濃度の ^{15}N , ^{13}C -アミノ酸および ^{15}N -塩化アンモニウムを 24 時間または 6 日間吸収させたイネ幼植物の地上部、地下部の炭素量

を吸収したイネ幼植物で高く、溶液濃度が 1000 μM の全体では、グルタミンが 0.7%、アラニンが 0.8%、バリンが 1.0% であった。発芽から 6 日間吸収試験を行ったイネ幼植物では、グルタミンが 6.2%、アラニンが 3.4%、バリンが 6.8% であった。

D 植物体内の ^{15}Ne , ^{13}Ce 存在量と全窒素(炭素)に対する ^{15}Ne (^{13}Ce) 比率(Atom%)について

表 5-3-3 に全窒素(炭素)に対する ^{15}Ne (^{13}Ce) の比率(Atom%)を示し、図 5-3-2、図 5-3-3 に地上部および地下部の全窒素(あるいは炭素)量と ^{15}Ne (あるいは ^{13}Ce)量を示した。植物体内の ^{15}Ne 存在量は、各濃度とも、塩化アンモニウム >> グルタミン > アラニン > バリンとなり、 ^{13}Ce の存在量は、バリン >> グルタミン、アラニンであった。

24 時間吸収試験を実施したイネ幼植物の植物体全体の全窒素に占める ^{15}Ne の割合(Ne atom\%)は、塩化アンモニウムの吸収区が高く、溶液濃度が 1000 μM では、グルタミンが 16.1 %、アラニンが 15.7 %、バリンが 8.1 % に対して、塩化アンモニウムが 54.0 % であった。発芽から 6 日間吸収試験を実施したイネ幼植物の植物体全体の全窒素に対する ^{15}Ne の割合は、塩化アンモニウムが 71.9%、グルタミンが 61.2 %、アラニンが 48.2 %、バリンが 27.0 % であった。地上部と地下部の比較をすると、25 μM では各条件とも、地下部が地上部より高かつたが、1000 μM では塩化アンモニウムで地上部が高くなり、各

アミノ酸ではほぼ同じ割合であった。

全炭素に対する ^{13}Ce の割合(Ce atom\%)は、バリンを吸収したイネ幼植物で高く、溶液濃度が 1000 μM の全体では、グルタミンが 0.7%、アラニンが 0.8%、バリンが 1.0% であった。発芽から 6 日間吸収試験を行ったイネ幼植物では、グルタミンが 6.2%、アラニンが 3.4%、バリンが 6.8% であった。

E ^{15}Ne , ^{13}Ce の地上部 / 地下部比について

表 5-3-3、図 5-3-4、図 5-3-5 にイネ幼植物体内の ^{15}Ne , ^{13}Ce の吸収量と地上部と地下部の分布を示した。また、図 5-3-6 に ^{15}Ne , ^{13}Ce の地上部 / 地下部比を示した。

^{15}N の地上部 / 地下部比を塩化アンモニウムとグルタミンを吸収したイネ幼植物で比較すると、溶液濃度が高くなるに伴い地上部 / 地下部比は高くなり、十分量の窒素を根に吸収すると積極的に地上部へ輸送していることがわかる。同濃度の溶液で比べると、塩化アンモニウムの地上部 / 地下部比がグルタミンより高かった。このことから、植物根へアンモニウムイオンとして吸収した窒素は、地下部で蓄積せず、積極的に地上部へ送られていることがわかる。植物体全体の ^{15}Ne 存在量が同程度(25 μM の塩化アンモニウムと 100 μM のグルタミン、100 μM の塩化アンモニウムと 1000 μM のグルタミン)で比較しても、塩化アンモニウムの地上部 / 地下部比がグルタミンより高かった。発芽から 6 日間長期的な吸収試験を行ったイネ

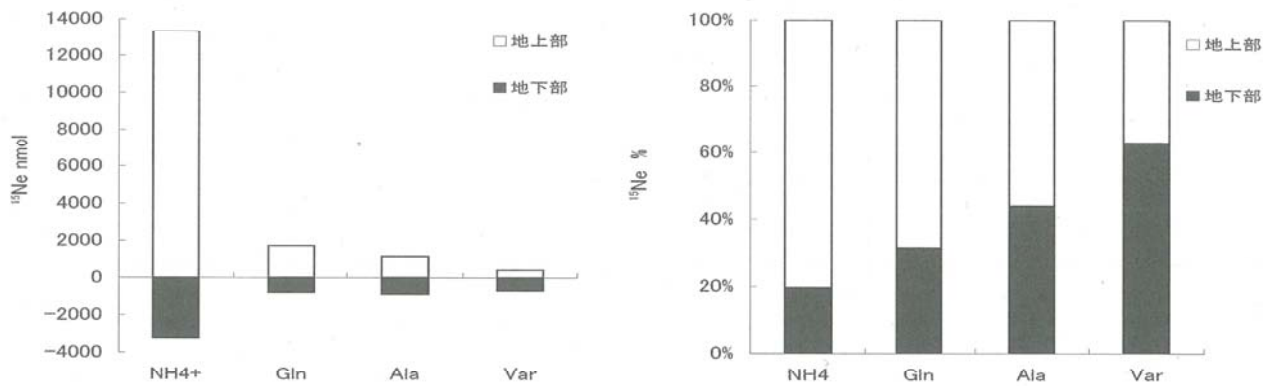


図 5-3-4 窒素濃度 1000μM の ^{15}N , ^{13}C -アミノ酸および ^{15}N -塩化アンモニウムを 24 時間吸収させたイネ幼植物における全 ^{15}N の地上部と地下部の分布。

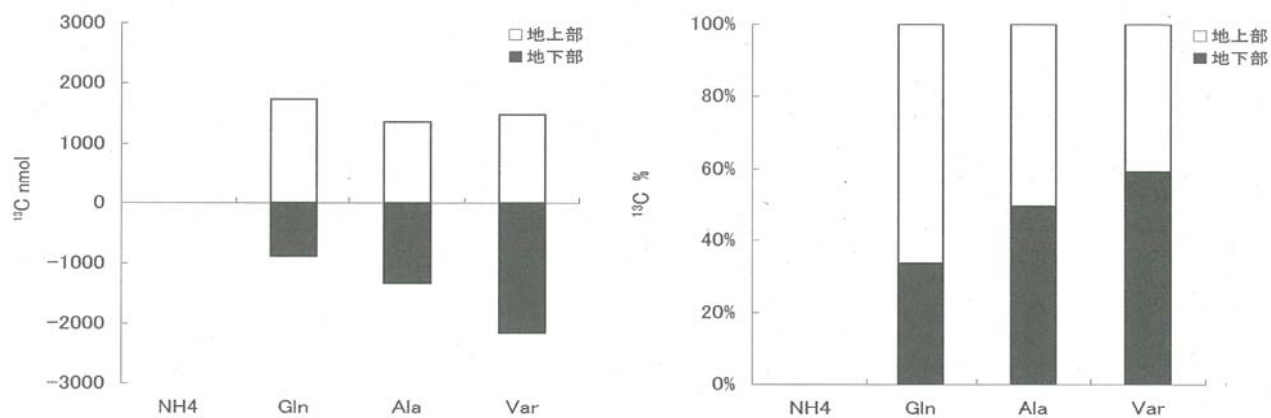


図 5-3-4 窒素濃度 1000μM の ^{15}N , ^{13}C -アミノ酸および ^{15}N -塩化アンモニウムを 24 時間吸収させたイネ幼植物における全 ^{13}C の地上部と地下部の分布

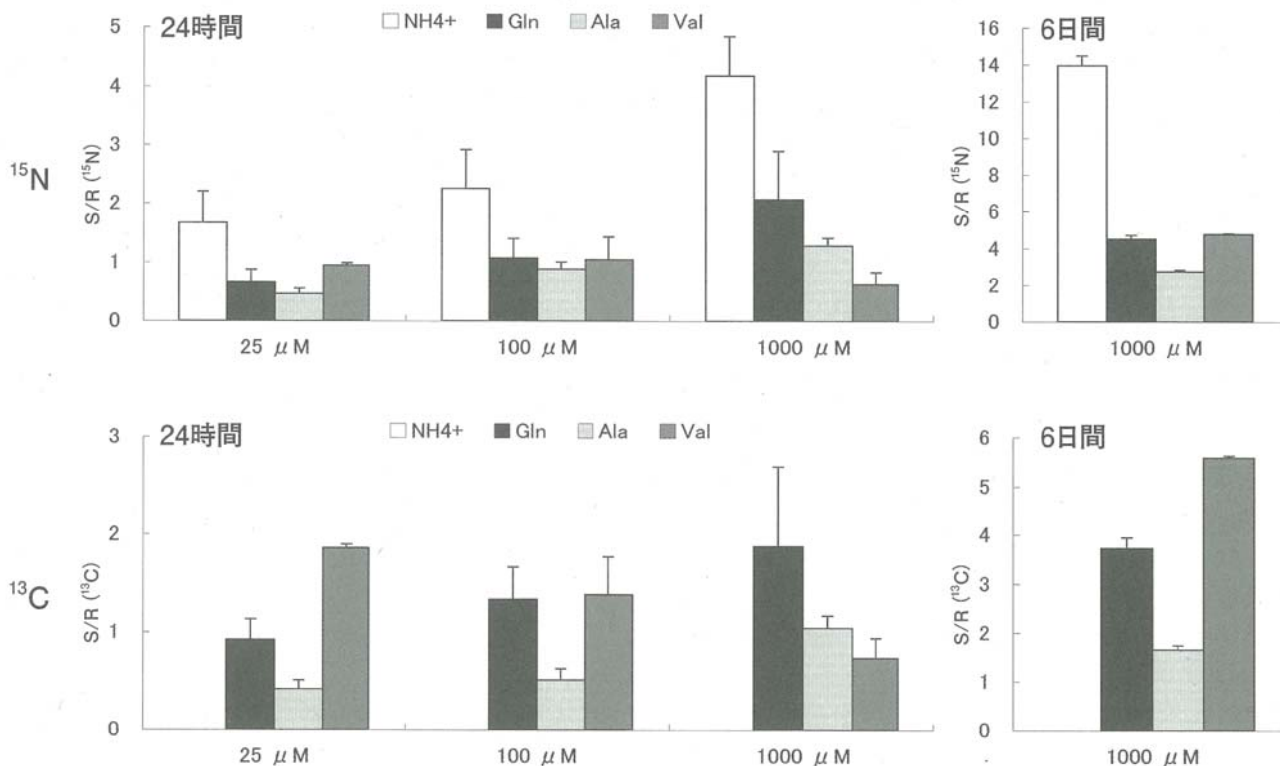


図 5-3-6 異なる濃度の ^{15}N , ^{13}C -アミノ酸および ^{15}N -塩化アンモニウムを 24 時間または 6 日間吸収したイネ幼植物の ^{15}N , ^{13}C 存在量の地上部 / 地下部比

幼植物では、塩化アンモニウムの地上部 / 地下部比が 17.7、グルタミンでは 4.5 であった。

アミノ酸間の ^{15}Ne の地上部 / 地下部比を比較すると、グルタミンとアラニンは溶液の濃度が高くなるに伴い地上部 / 地下部比は高くなるが、バリンは低下した。同濃度の溶液では、 $100\mu\text{M}$ までは地上部 / 地下部比は同程度であるが、 $1000\mu\text{M}$ ではグルタミン、アラニンは高く、バリンは低くなった。良好な生育を示すグルタミン、アラニンの窒素は、地上部へ盛んに輸送され、積極的に窒素源として利用されていることが示唆されるのに対し、生育が悪いバリンは地下部で蓄積することが示された。発芽から 6 日間吸収試験を行ったイネ幼植物では、ほぼ同等であった。

^{13}Ce の地上部 / 地下部比については、24 時間吸収試験ではグルタミン、アラニンでは溶液の濃度が高くなるに伴い地上部 / 地下部比は高くなり、バリンでは低下した。発芽から 6 日間吸収試験を行ったイネ幼植物では、バリンが高かった。

窒素と炭素の地上部 / 地下部比を比較すると、グルタミンとアラニンは同等の値であるが、バリンは炭素の地上部 / 地下部比が窒素より高かった。

以上のことから、グルタミンやアラニンでは、アミノ酸を吸収した後、その炭素部分は、前節で ^{14}C を付加した実験結果が示すように、一部は地下部で呼吸で消費し、一部はアミノ酸などの形態で地上部へ輸送していることがわかる。バリンは代謝が進んでいないと推測された。

F C/N 比および $^{13}\text{Ce}/^{15}\text{Ne}$ 比

表 5-3-3 と図 5-3-7、図 5-3-8 に C/N 比および $^{13}\text{Ce}/^{15}\text{Ne}$ 比

を示した。 ^{15}Ne を示した。24 時間吸収試験の C/N 比は、地上部、地下部とも $1000\mu\text{M}$ のアンモニアで低下した。

$^{13}\text{Ce}/^{15}\text{Ne}$ 比は、溶液濃度にかかわりなく、グルタミン、アラニンで 0.8 ~ 2.0 と低く、バリンでは 2.3 ~ 4.5 と高かった。これは、各アミノ酸の C/N 比（グルタミン : 2.5、アラニン : 5、バリン : 5）に対する植物中の $^{13}\text{Ce}/^{15}\text{Ne}$ 比が、グルタミンが 40 ~ 52%、アラニンが 26 ~ 32%、バリンが 66 ~ 74% と、バリンがアミノ酸の C/N 比に近く、代謝がほとんどすんでいないことが示唆された。また、地上部と地下部を比べると、グルタミンは $100\mu\text{M}$ までは地上部、アラニンは地下部、バリンは地上部が高かった。

G 生長効率 (GE) より呼吸量の算出

表 5-3-4 と図 5-3-9 に吸収されたアミノ酸から得るエネルギーが生育に必要な全エネルギーに対しどの程度のものになるかを算出するため、GE を用いて呼吸量からの試算を行った。6 日間グルタミンを与えて生育したイネ幼植物の乾物重の増加量は 15.8mg で、GE 値を 0.6 とすると、呼吸量 (R) は 15.5 mgCO_2 となる。一方、吸収されたグルタミンの代謝により放出された ^{13}C 量は $33\mu\text{mol}$ で、これは 1.5 mg CO_2 に相当する。したがって、吸収されたグルタミンから得た呼吸量は、生育に必要な呼吸量の 9.4% に相当している。また、グルタミンから得られた呼吸量を引いた呼吸量 (13.9 mg CO_2) は、アンモニアで生成したイネ幼植物の呼吸量は 13.3 mg CO_2 とほぼ同等となった。

同様に吸収されたアラニンとバリンから得た呼吸量は生育に必要な呼吸量の 4.7%、3.7% に相当した。

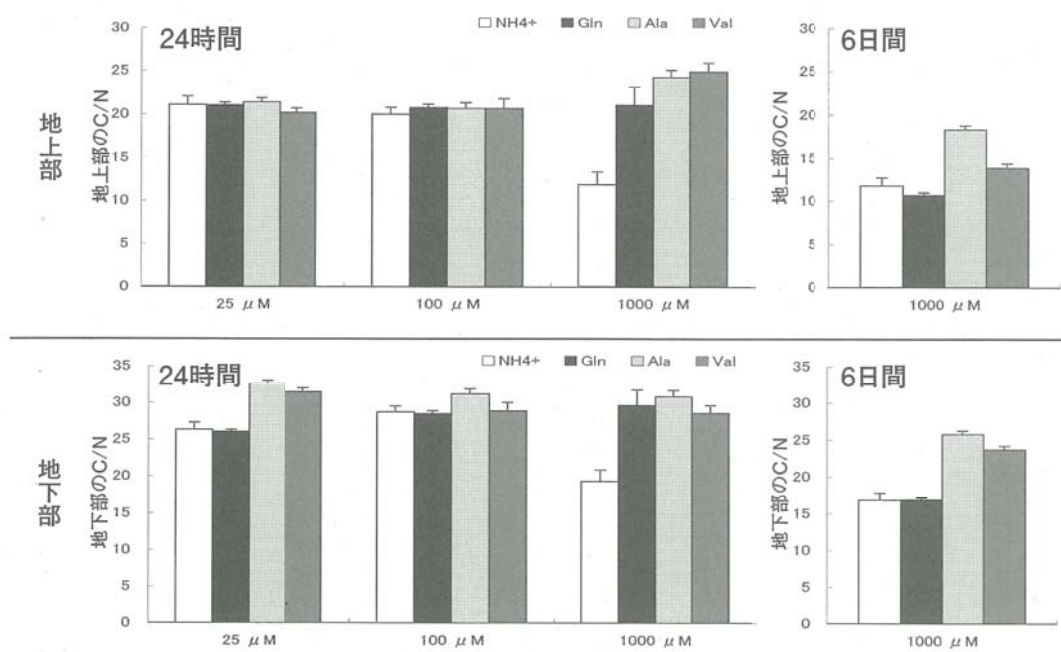


図 5-3-7 異なる濃度の $^{15}\text{N}, ^{13}\text{C}$ -アミノ酸および ^{15}N -塩化アンモニウムを 24 時間または 6 日間吸収させたイネ幼植物の地上部と地下部の C/N 比

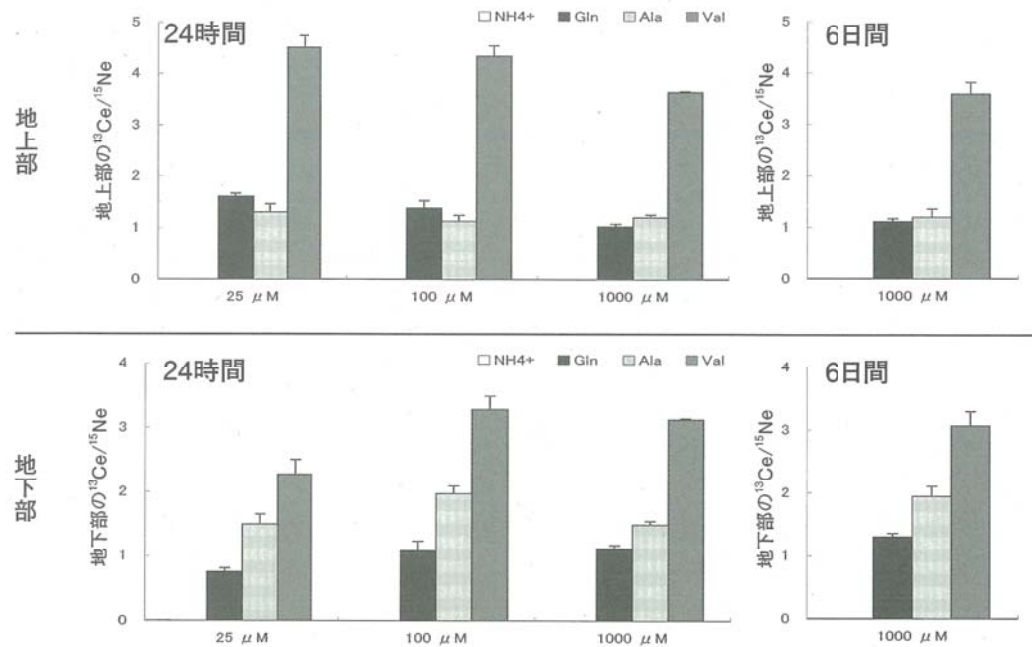


図 5-3-8 異なる濃度の ^{15}N , ^{13}C -アミノ酸および ^{15}N -塩化アンモニウムを 24 時間または 6 日間吸収させたイネ幼植物の地上部と地下部の $^{13}C/^{15}N$ 比

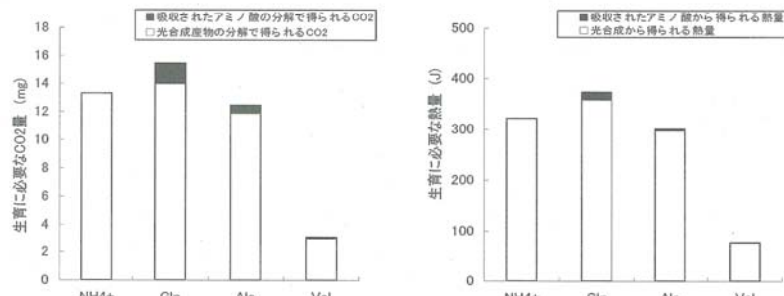


図 5-3-9 6 日間吸収させたイネ幼植物の吸収されたアミノ酸から得られるエネルギー量

表 5-3-4 吸収されたアミノ酸から得られるエネルギーの試算（生長効率 (GE) を用いて二酸化炭素量として算出）

・生育に必要な呼吸量の算出

窒素源	乾物重 (mg)	呼吸量*	
		(mgCH ₂ O)	(mgCO ₂)
NH ₄ ⁺	13.6	9.1	13.3
Gln	15.8	10.5	15.5
Ala	12.7	8.5	12.5
Val	3.2	2.1	3.1

* 生長効率 GE=W/(W+R)、GE=0.6 (Yamaguchi 1978)

・吸収されたアミノ酸の分解から放出される二酸化炭素量

窒素源	植物体内存在量		炭素の 減少量*	CO ₂ 放出量 (mg)
	¹⁵ N (μmol)	¹³ C (μmol)		
Gln	24.3	27.6	33	1.5
Ala	8.3	11.7	13	0.6
Val	1.7	6.0	3	0.1

* 植物体存在窒素量よりアミノ酸の C/N 比 (Gln;2.5, Ala;3, Val;5) から算出

・吸収されたアミノ酸の分解で生じる呼吸量の生育に対する割合

窒素源	生育に必要な 呼吸量 (mgCO ₂)	吸収されたアミノ酸の 分解で生じた呼吸量 (mgCO ₂)	差 (mgCO ₂)	吸収されたアミノ酸 から得る呼吸の割合 (%)	
				(%)	(%)
NH ₄ ⁺	13.3	1.5	13.3		
Gln	15.5	1.5	14.0	9.4	
Ala	12.5	0.6	11.9	4.7	
Val	3.1	0.1	3.0	3.7	

H 生産効率 (PV) よりエネルギー量の算出

表 5-3-5 と図 5-3-9 に吸収されたアミノ酸から得るエネルギーが生育に必要な全エネルギーに対しどの程度のものになるかを算出するため、PV 値からも試算を行った。6 日間グルタミンで生成したイネ幼植物の乾物重増加量は 15.8 mg であり、これは PV 値を 0.75 とすると、117 μmol のグルコースがこの生育には必要となる。

グルコース 1 分子の合成には、下記のように 18 分子の ATP と 12 分子の NADPH が必要である。



ATP の加水分解と NADPH の酸化による自由エネルギーがそれぞれ 30.5 kJ/mol、220 kJ/mol から、グルコース合成に必要なエネルギーは 3189 kJ/mol となり、117 μmol のグルコースを合成するためには熱量として 373 J のエネルギーが必要である。

一方、炭素の減少量から吸収されたグルタミンの 55% が分解されていることから、グルタミンの炭素骨格 (2-オキシグルタル酸、C=5) の分解が全て TCA 回路内と仮定すると、TCA 回路 1 サイクルで 2 分子の CO₂ と 30 の ATP が放出され、2.5 サイクルを要し、498 μmol の ATP が生産されたことになる。ATP の加水分解による自由エネルギーが 30.5 kJ/mol から、熱量として 15 J となる。したがって、熱

量 (J) 換算で乾物量增加に必要なグルコースを生産するために必要なエネルギーを算出すると、吸収したグルタミンの炭素部分から供給されるエネルギーの寄与率は 4.1 % である。また ATP 換算で算出するため、呼吸鎖の計算を適用し、NADPH1 分子が ATP3 分子に相当すると仮定するとグルタミン供給のエネルギーの寄与率は 7.9% であった。

いずれも GE よりは低い値となつたが、この PV 値の計算から新たに見えてきたこととして、グルコースをはじめとする同化産物の合成には膨大なエネルギーが必要であり、グルコースの合成 (18ATP + 12NADPH) には 100 のエネルギー (3189 kJ/mol) の投入が必要だとすると、できたグルコースの完全分解 (グルコース 1 分子から 36 分子の ATP を生産) ではわずか 30 のエネルギー (1098 kJ/mol) しか取り出せないということである。地上部で生産される同化産物はこの計算からわかるとおり非常に貴重であり、地上部から送られてくる同化産物をアミノ酸合成時に必要としないアミノ酸を直接吸収する経路は植物にとってきわめて有益なものであるといえよう。吸収したアミノ酸の代謝から得られるエネルギーに加え、本来無機態窒素の固定に使用するはずの同化産物のエネルギーを節約できることが植物の生育促進、特に根系の発達を促進させて要因であると考えられる。

表 5-3-5 吸収されたアミノ酸から得られるエネルギーの試算 (生産効率 (PV) を用いてエネルギーとして算出)

・生育に必要なエネルギーの算出

窒素源	乾物重 (mg)	グルコース換算*		グルコース生産に必要な エネルギー** ATP***	
		(μmol)	(J)	(J)	(μmol)
NH ₄ ⁺	13.6	101	321	5440	
Gln	15.8	117	374	6324	
Ala	12.7	94	301	5096	
Val	3.2	24	75	1276	

* イネの PV 値 0.75 (Sinclair et al. 1975)

** 6CO₂+12NADPH+18ATP→C₆H₁₂O₆+12NADP⁺+18ADP+18Pi

ATP の加水分解に伴うエネルギー 30.5 kJ/mol

NADPH の酸化に伴うエネルギー 220 kJ/mol

グルコース生産に必要なエネルギー 3189 kJ/mol

*** NADPH より 3 分子の ATP が生産すると仮定

・吸収されたアミノ酸の分解から得るエネルギーの算出

窒素源	植物体内存在量		炭素の		分解された アミノ酸 (μmol)	アミノ酸の分解** に関する条件			分解で生産 された ATP (μmol)	ATP から得られる エネルギー (J)
	¹⁵ N (μmol)	¹³ C (μmol)	減少量* (μmol)	減少割合 (%)		TCA 回路 1 サイクルで 放出する CO ₂	分解に要する TCA 回路のサイクル数	1 サイクルで 生産される ATP		
Gln	24.3	27.6	33	55	6.6	2.0	2.5	30.0	498	15
Ala	8.3	11.7	13	53	2.2	2.0	1.5	33.0	109	3
Val	1.7	6.0	3	30	0.3	2.0	2.5	30.0	19	1

* 植物体存在窒素量よりアミノ酸の C/N 比 (Gln:2.5, Ala:3, Val:5) から算出

** 吸收されたアミノ酸が TCA 回路で分解すると仮定 ATP の加水分解に伴うエネルギー 30.5 kJ/mol

・吸収されたアミノ酸から得られる ATP の生育に対する割合

窒素源	生育に必要な 吸収されたアミノ酸 エネルギー (J)		差 (J)	吸収されたアミノ酸から得る 熱量の割合 (%)		ATP の割合 (%)
	エネルギー から得られたエネルギー (J)	(J)		(%)	(%)	
NH ₄ ⁺	321		321			
Gln	374	15	358	4.1	7.9	
Ala	301	3	298	1.1	2.1	
Val	75	1	75	0.8	1.5	

I 考察

窒素の吸収量は塩化アンモニウムがアミノ酸より多かった。第四章第三節で求めたグルタミンの最大吸収速度(V_{max})は $2.9\mu\text{mol/g/h}$ 、アラニンは $1.2\mu\text{mol/g/h}$ に対して、アンモニウムの V_{max} が $3.4 \sim 12.8\mu\text{mol/g/h}$ (Wang et al. 1993) や $216\mu\text{mol/g root /h}$ (Youngdahl et al. 1982)と報告されており、アンモニウムの吸収速度がアミノ酸より速く、窒素の吸収量も多いと考えられた。アミノ酸間の比較をすると、第二節と同様、吸収量はグルタミン、アラニンで多く、バリンで少なかった。

アミノ酸の吸収と代謝で特に重要であると考えられるのは、水耕液からの減少量と植物中の存在量は、 ^{15}Ne ではほぼ同じ量になったが、 ^{13}Ce では植物の存在量は減少量より少なかったことである。これは、アミノ酸が吸収された後の代謝により、窒素は植物体内で利用されるが、炭素の一部が呼吸経路を経て二酸化炭素として植物外へ放出するため減少すると推察される。特に、グルタミンやアラニンはバリンより減少量が多く、これはグルタミンやアラニンでは代謝が円滑に行われ、二酸化炭素としての放出量が多かったものと考えられる。つまり、アミノ酸の炭素部分も呼吸の基質として利用され、アミノ酸は植物に窒素源としての役割のみならず、エネルギー源としても機能していることが示唆された。

そこで、吸収されたアミノ酸から得られるエネルギーを呼吸量やATPとして試算した。吸収されたアミノ酸がグルタミンでは、グルタミンから得られるエネルギーは生長に必要なエネルギーの $4.1 \sim 9.4\%$ に相当した。生育に必要な全エネルギーからグルタミンの分解で得たエネルギーを差し引いた量は、アンモニアで生育したイネ幼植物と同等になるため、グルタミンの代謝にはアンモニア代謝に加えて余分なエネルギー消費がなく、グルタミンから得られるエネルギーが、そのまま生育にプラスされたと考えられる。

アラニンから得られるエネルギーはグルタミンより低く、生長に必要なエネルギーの $3.2 \sim 4.7\%$ に相当した。また、生育に必要な全エネルギーからアラニンの分解で得たエネルギーを差し引いた量は、アンモニアで生育したイネ幼植物よりわずかに低かった。次節で詳しく検討するが、アラニンは一度グルタミンへ代謝されてから分解されると考えられ、そのためにエネルギーを若干消費したものと考えられる。

一方、バリンは生育を阻害するアミノ酸であったが、本節の結果からも、グルタミン、アラニンと比較すると炭素の残存量が1.5倍以上であり、バリンを吸収してもイネ幼植物は代謝しにくく、利用しにくいと考えられる。これは、各アミノ酸のC/N比(グルタミン:2.5、アラニン:5、バリン:5)に対する植物中の $^{13}\text{Ce}/^{15}\text{Ne}$ 比が、グルタミ

ンが $40 \sim 52\%$ 、アラニンが $26 \sim 32\%$ 、バリンが $66 \sim 74\%$ と、バリンがアミノ酸のC/N比に近く、代謝がほとんどすんでいないことからも明らかである。また、第二節で、グルタミンやアラニンの吸収量がバリンより多いにも関わらず、オートラジオグラフィー像の輝度値はバリンが高くなっていることでもバリンの代謝されにくさが裏付けられる。したがって、植物はいずれの種類のアミノ酸でも吸収するが、吸収後の代謝過程の難易により、窒素源として植物生育に与える影響をどうかが決まると考えられた。

グルタミンやアラニンとして供給した窒素の植物体内的分布は、溶液濃度が同濃度および吸収量が同程度で比較しても、塩化アンモニウムの窒素より地上への移行割合が低かった。つまり、アミノ酸として吸収した窒素は、塩化アンモニウムとして吸収した窒素より地下部に蓄積する割合が高かった。アミノ酸はわずかであるが、炭素も植物に供給している。 ^{14}C -アミノ酸を用いて、第四章第四節でリアルタイムオートイメージングや、第五章第二節のオートラジオグラフィー像から、アミノ酸から供給した炭素は特に根端に蓄積するが確認されている。窒素や炭素の地下部での利用が、第二章で確認しているグルタミンやアラニンで生育したイネ幼植物の旺盛な根系発達につながったものと考えられる。グルタミンとアラニンの $^{13}\text{Ce}/^{15}\text{Ne}$ 比を比較すると、 $100\mu\text{M}$ まではグルタミンは地上部が高く、アラニンは地下部が高い。 $100\mu\text{M}$ までのグルタミンは、地下部で代謝されるものもあるが、一部はグルタミンの形で地上へ移行していると考えられる。アラニンは、アラニンのまま地上部へ移行する割合が少なく、他のアミノ酸や有機酸へ代謝後移行されるため、地上部の $^{13}\text{Ce}/^{15}\text{Ne}$ 比が低くなるのではないかと考えられる。

第四節 異なる種類のアミノ酸ごとの代謝経路の違い

(1) 目的

異なる種類のアミノ酸が植物生育に与える影響の違いを検討するため、 $^{15}\text{N}, ^{13}\text{C}$ -安定同位体二重標識アミノ酸を用いて、24時間吸収後の植物体内遊離アミノ酸を定量することでアミノ酸の代謝経路の推定を行った。供試したアミノ酸は、第三章でイネ幼植物の生育が良好であったグルタミン、アラニン、生育を阻害したバリン、および対照として無機態窒素(塩化アンモニウム)を用いた。

(2) 試験方法

供試作物はイネ(*Oryza sativa L.* 日本晴)を用いた。第五章第一節と同様に、種子滅菌を行った後、発芽した種子を無窒素の改変木村氏B液で6日間無菌的に水耕栽培した。7日目に、生育の揃ったイネ幼植物を供試溶

液に取換え、生育時と同じ人工気象器内にて 24 時間明条件で吸収させた。供試溶液は、窒素成分抜き改变木村氏 B 液 25 mL に以下の $^{15}\text{N}, ^{13}\text{C}$ - 安定同位体二重標識アミノ酸 $^{15}\text{N} \cdot ^{13}\text{C}$ 98 atom%、昭光通商) と ^{15}N - 安定同位体塩化アンモニウム (^{15}N 98 atom%、昭光通商) を、窒素成分で 25 μM、100 μM、1000 μM となるように溶解した。

(U-) $^{15}\text{N}, ^{13}\text{C}$ -L- グルタミン



(U-) $^{15}\text{N}, ^{13}\text{C}$ -L- アラニン



(U-) $^{15}\text{N}, ^{13}\text{C}$ -L- バリン



^{15}N - 塩化アンモニウム $^{15}\text{NH}_4\text{Cl}$

24 時間後の吸収実験後、氷冷水で 30 秒ずつ 3 回根を洗い地上部と地下部に分離し、新鮮重を測定後、液体窒素で凍結して 0.5m と 5mm 径ビーズの入ったエッペンチューブに入れ、80 % エタノールを 1 mL 添加した。ビーズビーダーで破碎 (5000 rpm、1 分 × 3 回) 後、60 °C にて 30 分振とうを行い遊離アミノ酸を抽出した。遠心 (11500 rpm、10 分) 後、上澄みを遊離アミノ酸抽出液として回収した。

第四章第二節と同様に、抽出液の誘導体化を行い、液体クロマトグラム・イオントラップ型質量分析計 (Finigan LTQ, Thermo Fisher Scientific K.K.) でアミノ酸量と抽出アミノ酸の質量分析を行った。

また、より長期的な吸収、代謝を追跡するため、イネを発芽後、改变木村氏 B 液に塩化アンモニウム、グルタミン、アラニン (窒素濃度 1000 μM) を窒素源して、6 日間イネ幼植物を無菌栽培し、上記と同様に遊離アミノ酸量を測定した。

(3) 試験結果と考察

A 遊離アミノ酸量とアミノ酸組成

表 5-4-1、図 5-4-1 に、 ^{15}N - 塩化アンモニア (窒素濃度 1000 μM) を 24 時間吸収したイネ幼植物の地上部と地下部の遊離アミノ酸量とその組成を示した。遊離アミノ酸量は、地上部、地下部とも吸収時間とともに増加し、24 時間後には実験開始時のアミノ酸量に比べて、地下部で 16 倍、地上部で 28 倍となった。地下部では、遊離アミノ酸の組成は吸収後 3 時間ではアンモニアイオンが増加したが、その後、グルタミン、アスパラギン、アラニンが増加し、24 時間後では、グルタミンの割合が最も高くなかった。地上部では、グルタミン酸、アラニン、セリンが吸収後 3 時間から増加し、24 時間後では、グルタミンの割合が高くなかった。

表 5-4-2、図 5-4-2 に、 $^{15}\text{N}, ^{13}\text{C}$ - 安定同位体二重標識

グルタミン (窒素濃度 25, 100, 1000 μM) を 24 時間吸収したイネ幼植物の地上部と地下部の遊離アミノ酸量とその組成を示した。窒素濃度が 25 μM や 100 μM の遊離アミノ酸量は、地上部、地下部とも、吸収後 3 時間後には 0 時間後のアミノ酸量と比較してほぼ同じであった。窒素濃度 1000 μM では、吸収後 3 時間までは地下部で遊離アミノ酸量が減少したが、吸収後 24 時間には地下部で約 2 倍、地上部で約 6.5 倍に増加した。遊離アミノ酸の組成は、窒素濃度が 25 μM や 100 μM では、地上部、地下部とも、0 時間と同じであった。窒素濃度が 1000 μM の地下部では、アンモニアイオン、アスパラギン、グルタミンが増加し、地上部では、グルタミン、グルタミン酸、グリシンが増加した。

表 5-4-3、図 5-4-3 に、 $^{15}\text{N}, ^{13}\text{C}$ - 安定同位体二重標識アラニン (窒素濃度 25, 100, 1000 μM) を 24 時間吸収した地上部と地下部の遊離アミノ酸量とその組成を示した。窒素濃度が 25 μM や 100 μM の遊離アミノ酸量は、地上部、地下部とも 0 時間のアミノ酸量とほぼ同等であった。窒素濃度 1000 μM では、吸収後 1 時間までは地下部で遊離アミノ酸量が減少したが、吸収後 24 時間で地下部で約 2 倍、地上部で約 5 倍となった。遊離アミノ酸の組成は、窒素濃度が 25 μM や 100 μM では、地上部、地下部とも 0 時間と同じだった。窒素濃度が 1000 μM の地下部では、アンモニアイオン、グルタミン、グルタミン酸、アラニン、セリンが増加し、地上部ではグルタミン、アスパラギン酸、グルタミン酸、アラニン、セリンが増加した。

表 5-4-4、図 5-4-4 に、 $^{15}\text{N}, ^{13}\text{C}$ - 安定同位体二重標識バリン (窒素濃度 25, 100, 1000 μM) を 24 時間吸収した地上部と地下部の遊離アミノ酸量とその組成を示した。窒素濃度が 25 μM や 100 μM の遊離アミノ酸量は地上部、地下部とも、0 時間のアミノ酸量とほぼ同じであった。窒素濃度 1000 μM では、吸収後 3 時間までは地下部で遊離アミノ酸量が減少したが、吸収後 24 時間に地下部で約 2 倍、地上部で約 4.5 倍となった。遊離アミノ酸の組成は、窒素濃度が 25 μM や 100 μM では、吸収後 24 時間で地上部、地下部ともロイシンが増加した。窒素濃度が 1000 μM の地下部では、アスパラギン、セリン、バリン、ロイシンが増加し、地上部では、グルタミン、アスパラギン酸、グルタミン酸、バリン、ロイシンが増加した。

表 5-4-5、図 5-4-5 に、 ^{15}N - 安定同位体塩化アンモニア、 $^{15}\text{N}, ^{13}\text{C}$ - 安定同位体二重標識グルタミン、アラニン、バリン (窒素濃度 1000 μM) で 6 日間生育した地上部と地下部の遊離アミノ酸量とその組成を示した。遊離アミノ酸量は、塩化アンモニウムを吸収させた地下部で約 6.4 倍、グルタミンで約 3.4 倍、アラニンで約 2.4 倍となり、

地上部では塩化アンモニウムで生育させたイネで約13倍、グルタミンで約、7.6倍、アラニンで約5.5倍となった。遊離アミノ酸の組成は、ほぼ同じであった。

B 他のアミノ酸への¹⁵N,¹³Cの取り込みの質量分析

図5-4-6に、¹⁵N-塩化アンモニア(窒素濃度1000μM)を24時間吸収した地上部と地下部の主な遊離アミノ酸についてその質量分布を示した。¹⁵Nを窒素源

表5-4-1 異なる濃度の¹⁵N-塩化アンモニウムを24時間吸収させたイネ幼植物の地上部、地下部の遊離アミノ酸量およびアンモニアイオン量(nmol/個体)

部位	N源	濃度	時間	NH ₄ ⁺	Asn	Gln	Asp	Glu	Ala	Ser	Gly	Val	Leu	Thr	Pro	Lys	Cys	Tyr	Met	Ile	Arg	Phe	計	
地上	NH ₄ ⁺	1000μM	0h	22 (22)	27 (28)	16 (16)	4 (5)	9 (9)	5 (5)	7 (7)	4 (4)	0 (0)	0 (0)	2 (2)	1 (1)	1 (1)	0 (0)	1 (1)	1 (1)	0 (0)	0 (0)	0 (1)	1 (100)	
			3h	48 (7)	21 (3)	11 (2)	69 (10)	144 (21)	94 (14)	136 (20)	59 (9)	18 (3)	17 (3)	22 (3)	8 (1)	15 (2)	0 (0)	11 (2)	0 (0)	12 (0)	0 (2)	0 (0)	11 (2)	
			9h	159 (11)	67 (5)	573 (39)	79 (5)	183 (13)	177 (12)	94 (6)	61 (4)	20 (1)	5 (0)	12 (1)	1 (0)	3 (0)	0 (0)	18 (1)	0 (0)	3 (0)	0 (0)	6 (0)	1462 (100)	
			24h	88 (3)	340 (12)	1365 (49)	62 (2)	197 (7)	248 (9)	139 (5)	149 (5)	47 (2)	14 (1)	52 (2)	1 (0)	3 (0)	0 (0)	41 (0)	0 (0)	9 (2)	0 (0)	0 (0)	11 (0)	2768 (100)
		1000μM	0h	25 (38)	17 (25)	12 (17)	2 (3)	2 (3)	2 (2)	3 (4)	3 (4)	0 (0)	0 (1)	1 (1)	0 (0)	0 (1)	0 (0)	0 (0)	0 (1)	1 (1)	1 (1)	0 (0)	0 (0)	67 (100)
			3h	162 (60)	16 (6)	65 (24)	0 (0)	0 (0)	3 (1)	20 (8)	3 (1)	0 (0)	0 (0)	0 (0)	0 (0)	0 (0)	1 (0)	0 (0)	0 (0)	0 (0)	0 (0)	0 (0)	0 (0)	271 (100)
			9h	141 (36)	34 (9)	164 (41)	0 (0)	2 (0)	38 (10)	16 (4)	0 (0)	0 (0)	0 (0)	0 (0)	0 (0)	0 (0)	1 (0)	0 (0)	1 (0)	0 (0)	0 (0)	0 (0)	0 (0)	398 (100)
			24h	83 (8)	224 (21)	531 (49)	13 (1)	46 (4)	109 (10)	38 (4)	10 (1)	6 (1)	2 (0)	5 (1)	2 (0)	3 (0)	0 (0)	6 (1)	1 (0)	2 (1)	0 (0)	2 (0)	2 (0)	1084 (100)

()内は、遊離アミノ酸とアンモニウム量の合計に対する割合 %

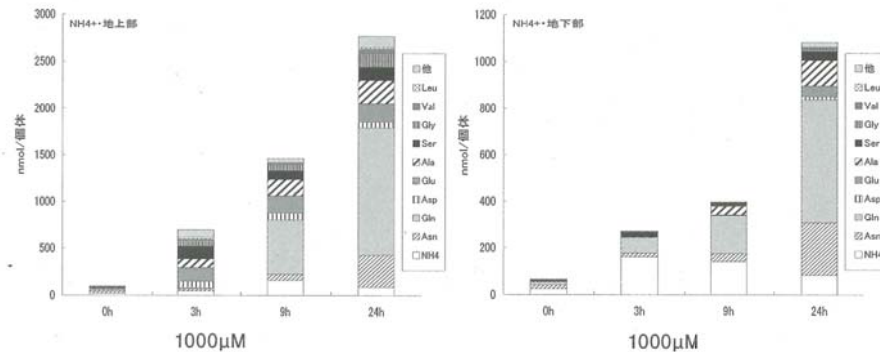


図5-4-1 1000μM・塩化アンモニウムを24時間吸収させたイネ幼植物地上部、地下部の遊離アミノ酸量

表5-4-2 異なる濃度の¹⁵N,¹³C-グルタミンを24時間吸収させたイネ幼植物の地上部、地下部の遊離アミノ酸量およびアンモニアイオン量(nmol/個体)

部位	N源	濃度	時間	NH ₄ ⁺	Asn	Gln	Asp	Glu	Ala	Ser	Gly	Val	Leu	Thr	Pro	Lys	Cys	Tyr	Met	Ile	Arg	Phe	計	
地上	Gln	25μM	3h	24 (20)	21 (18)	25 (21)	7 (6)	14 (12)	8 (7)	10 (8)	4 (3)	1 (1)	1 (1)	2 (2)	1 (1)	1 (1)	0 (0)	1 (1)	1 (1)	0 (0)	1 (1)	0 (1)	1 (1)	119 (100)
			24h	28 (32)	21 (23)	12 (13)	4 (5)	8 (9)	4 (5)	6 (6)	4 (4)	1 (1)	0 (0)	1 (1)	0 (0)	1 (1)	0 (0)	0 (0)	0 (0)	0 (0)	0 (0)	0 (1)	90 (100)	
		100μM	3h	25 (19)	27 (20)	31 (23)	9 (7)	15 (12)	6 (4)	10 (7)	4 (3)	1 (1)	0 (0)	2 (1)	1 (0)	1 (0)	0 (0)	1 (1)	1 (1)	0 (0)	0 (0)	0 (0)	1 (1)	133 (100)
			24h	17 (31)	9 (17)	9 (16)	4 (7)	5 (10)	3 (5)	3 (7)	4 (3)	2 (1)	0 (0)	0 (1)	0 (0)	0 (1)	0 (0)	0 (0)	0 (0)	0 (0)	0 (0)	0 (0)	55 (100)	
		1000μM	1h	38 (22)	64 (37)	4 (3)	45 (25)	0 (0)	18 (10)	2 (1)	0 (0)	0 (0)	1 (0)	0 (0)	1 (0)	0 (1)	1 (0)	0 (0)	1 (0)	0 (0)	0 (0)	0 (0)	176 (100)	
			3h	10 (11)	7 (7)	28 (29)	2 (2)	38 (39)	3 (3)	10 (10)	0 (0)	0 (0)	0 (0)	0 (0)	0 (0)	0 (0)	0 (0)	0 (0)	0 (0)	0 (0)	0 (0)	0 (0)	97 (100)	
			9h	5 (4)	14 (10)	4 (3)	5 (3)	83 (60)	1 (1)	25 (18)	1 (1)	0 (0)	0 (0)	0 (0)	0 (0)	0 (0)	0 (0)	0 (0)	1 (0)	0 (0)	0 (0)	0 (0)	139 (100)	
			24h	46 (7)	75 (12)	203 (31)	42 (6)	155 (24)	5 (1)	49 (8)	59 (9)	0 (0)	1 (0)	2 (0)	1 (0)	1 (0)	0 (0)	4 (1)	7 (1)	0 (0)	0 (0)	0 (0)	650 (100)	
		地下	3h	27 (32)	21 (24)	18 (21)	1 (1)	6 (7)	3 (5)	4 (4)	3 (4)	1 (1)	0 (0)	1 (1)	0 (1)	0 (0)	1 (1)	0 (0)	1 (1)	0 (0)	0 (0)	0 (0)	85 (100)	
			24h	20 (36)	14 (25)	9 (16)	2 (4)	3 (5)	2 (3)	3 (5)	3 (4)	0 (1)	0 (0)	1 (1)	0 (0)	0 (1)	0 (0)	0 (0)	0 (0)	0 (0)	0 (0)	0 (0)	56 (100)	
			3h	26 (32)	19 (23)	18 (22)	3 (4)	5 (6)	2 (3)	3 (4)	3 (4)	0 (0)	0 (0)	1 (1)	0 (0)	0 (1)	0 (0)	0 (0)	0 (0)	0 (0)	0 (0)	0 (0)	81 (100)	
			24h	14 (24)	16 (29)	13 (23)	3 (5)	1 (2)	2 (4)	3 (6)	3 (5)	1 (1)	0 (0)	0 (1)	0 (0)	0 (0)	0 (0)	0 (0)	0 (0)	0 (0)	0 (0)	0 (0)	56 (100)	
		1000μM	1h	3 (14)	13 (62)	2 (9)	1 (2)	0 (0)	1 (3)	1 (3)	1 (3)	0 (0)	0 (1)	0 (0)	0 (2)	98146 (98146)	1 (1)	0 (0)	0 (0)	0 (0)	0 (0)	0 (0)	21 (100)	
			3h	1 (3)	15 (72)	2 (10)	0 (1)	8 (8)	0 (0)	3 (3)	1 (1)	0 (0)	0 (0)	0 (0)	0 (1)	0 (0)	0 (0)	0 (0)	0 (0)	0 (0)	0 (0)	0 (0)	21 (100)	
			9h	11 (18)	31 (51)	8 (12)	0 (0)	5 (8)	0 (0)	4 (7)	1 (2)	0 (0)	0 (0)	0 (0)	0 (1)	0 (0)	0 (0)	0 (0)	0 (0)	0 (0)	0 (0)	0 (0)	62 (100)	
			24h	41 (30)	45 (34)	37 (28)	1 (0)	2 (1)	0 (0)	7 (5)	1 (1)	0 (0)	0 (0)	0 (0)	0 (0)	0 (0)	0 (0)	0 (0)	0 (0)	0 (0)	0 (0)	0 (0)	134 (100)	

()内は、遊離アミノ酸とアンモニウム量の合計に対する割合 %

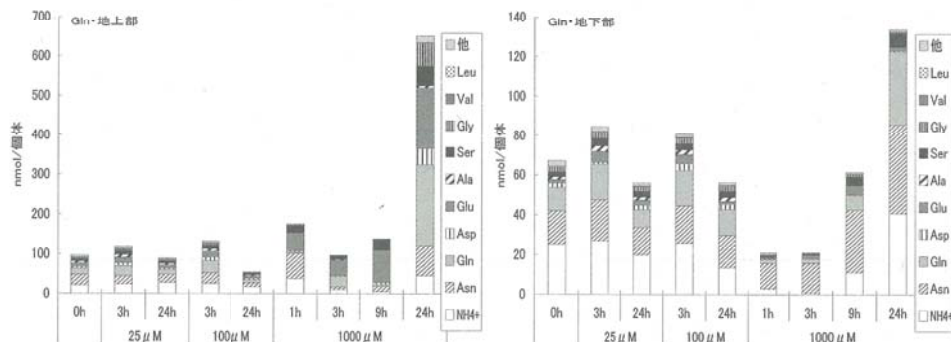


図 5-4-2 異なる濃度のグルタミンを 24 時間吸収させたイネ幼植物地上部、地下部の遊離アミノ酸量

表 5-4-3 異なる濃度の¹⁵N,¹³C-アラニンを 24 時間吸収させたイネ幼植物の地上部、地下部の遊離アミノ酸量およびアンモニアイオン量 (nmol/個体)

部位	N源	濃度	時間	NH ₄ ⁺	Asn	Gln	Asp	Glu	Ala	Ser	Gly	Val	Leu	Thr	Pro	Lys	Cys	Tyr	Met	Ile	Arg	Phe	計	
地上	Ala	25μM	3h	22 (25)	23 (26)	14 (16)	5 (6)	8 (9)	4 (4)	6 (7)	4 (4)	1 (1)	0 (0)	1 (2)	0 (0)	1 (1)	0 (0)	1 (1)	0 (0)	0 (0)	0 (0)	0 (0)	91 (100)	
			24h	25 (34)	19 (27)	13 (18)	3 (4)	3 (5)	2 (3)	3 (4)	3 (0)	0 (0)	0 (1)	1 (1)	0 (0)	73 (100)								
		100μM	3h	22 (22)	21 (20)	19 (18)	8 (8)	13 (13)	5 (5)	7 (7)	3 (3)	1 (1)	0 (0)	2 (2)	1 (1)	1 (1)	0 (0)	1 (1)	0 (0)	0 (0)	0 (0)	0 (0)	102 (100)	
		24h	26 (32)	20 (24)	14 (18)	4 (5)	6 (7)	2 (3)	3 (4)	3 (4)	0 (1)	0 (0)	1 (1)	0 (0)	80 (100)									
			1000μM	1h	13 (15)	49 (56)	2 (2)	2 (2)	14 (16)	0 (0)	5 (6)	1 (2)	0 (0)	0 (0)	0 (0)	0 (1)	0 (0)	0 (0)	0 (0)	0 (0)	0 (0)	0 (0)	87 (100)	
		3h	72 (22)	20 (6)	4 (1)	27 (8)	102 (32)	28 (9)	58 (18)	9 (3)	0 (3)	0 (0)	0 (0)	0 (0)	2 (1)	0 (0)	0 (0)	0 (0)	0 (0)	0 (0)	0 (0)	1 (0)	322 (100)	
			9h	31 (9)	17 (5)	27 (8)	16 (5)	97 (29)	80 (23)	68 (20)	1 (0)	0 (0)	0 (0)	0 (0)	2 (0)	0 (0)	1 (1)	0 (0)	0 (0)	0 (0)	0 (0)	0 (0)	341 (100)	
			24h	58 (12)	14 (3)	89 (3)	46 (18)	122 (25)	63 (13)	81 (16)	10 (2)	1 (0)	1 (1)	2 (1)	1 (2)	0 (0)	2 (0)	0 (0)	1 (0)	0 (0)	1 (0)	0 (0)	492 (100)	
			1h	13 (12)	49 (3)	2 (3)	2 (9)	14 (25)	0 (13)	5 (16)	1 (2)	0 (0)	91 (100)											
	地下	Ala	25μM	3h	23 (40)	23 (39)	4 (8)	1 (1)	1 (1)	1 (2)	2 (3)	3 (5)	0 (0)	0 (0)	0 (0)	0 (1)	0 (0)	59 (100)						
			24h	20 (31)	15 (23)	14 (21)	3 (5)	4 (5)	2 (3)	3 (5)	3 (4)	0 (1)	0 (0)	1 (1)	0 (0)	0 (0)	0 (1)	0 (0)	0 (0)	0 (0)	0 (0)	0 (0)	66 (100)	
		100μM	3h	26 (28)	18 (20)	14 (16)	6 (6)	9 (10)	5 (6)	6 (7)	3 (3)	1 (1)	0 (0)	1 (1)	0 (0)	1 (1)	0 (0)	0 (0)	0 (0)	0 (0)	0 (0)	0 (0)	91 (100)	
			24h	14 (24)	17 (29)	14 (24)	3 (5)	1 (2)	2 (4)	3 (5)	3 (5)	0 (1)	0 (0)	1 (1)	0 (0)	59 (100)								
		1000μM	1h	3 (17)	13 (66)	1 (5)	0 (1)	1 (3)	0 (0)	1 (4)	0 (2)	0 (0)	0 (0)	0 (0)	0 (1)	0 (0)	20 (100)							
			3h	31 (48)	15 (23)	2 (3)	0 (1)	2 (4)	4 (6)	6 (10)	2 (2)	0 (0)	0 (0)	0 (0)	0 (1)	0 (0)	64 (100)							
			9h	32 (58)	18 (32)	1 (2)	0 (1)	1 (1)	0 (0)	3 (5)	0 (0)	0 (0)	0 (0)	0 (0)	1 (1)	0 (0)	56 (100)							
			24h	40 (30)	22 (16)	23 (16)	4 (7)	8 (3)	13 (6)	10 (10)	4 (8)	1 (3)	1 (1)	1 (1)	1 (1)	1 (1)	0 (0)	1 (1)	0 (0)	1 (0)	0 (0)	1 (0)	132 (100)	
			1h	3 (30)	13 (16)	1 (16)	0 (7)	1 (3)	6 (6)	10 (10)	8 (8)	3 (3)	1 (1)	1 (1)	1 (1)	1 (1)	0 (0)	1 (1)	0 (0)	0 (0)	0 (0)	0 (0)	0 (0)	
			3h	23 (30)	13 (16)	1 (7)	0 (3)	6 (6)	10 (10)	8 (8)	3 (3)	1 (1)	1 (1)	1 (1)	1 (1)	1 (1)	0 (0)	1 (1)	0 (0)	0 (0)	0 (0)	0 (0)	0 (0)	
			24h	20 (20)	15 (15)	14 (15)	3 (2)	4 (4)	2 (2)	3 (3)	3 (3)	0 (0)	0 (0)	1 (1)	0 (0)	64 (100)								
			1h	3 (32)	15 (18)	2 (3)	0 (1)	2 (1)	4 (1)	6 (1)	2 (2)	0 (0)	0 (0)	0 (0)	0 (1)	0 (0)	56 (100)							
			3h	32 (58)	18 (32)	1 (2)	0 (1)	1 (1)	0 (0)	3 (5)	0 (0)	0 (0)	0 (0)	0 (0)	1 (1)	0 (0)	56 (100)							
			9h	32 (58)	18 (32)	1 (2)	0 (1)	1 (1)	0 (0)	3 (5)	0 (0)	0 (0)	0 (0)	0 (0)	1 (1)	0 (0)	56 (100)							
			24h	40 (30)	22 (16)	23 (16)	4 (7)	8 (3)	13 (6)	10 (10)	4 (8)	1 (3)	1 (1)	1 (1)	1 (1)	1 (1)	0 (0)	1 (1)	0 (0)	1 (0)	0 (0)	1 (0)	132 (100)	

() 内は、遊離アミノ酸とアンモニウム量の合計に対する割合 %

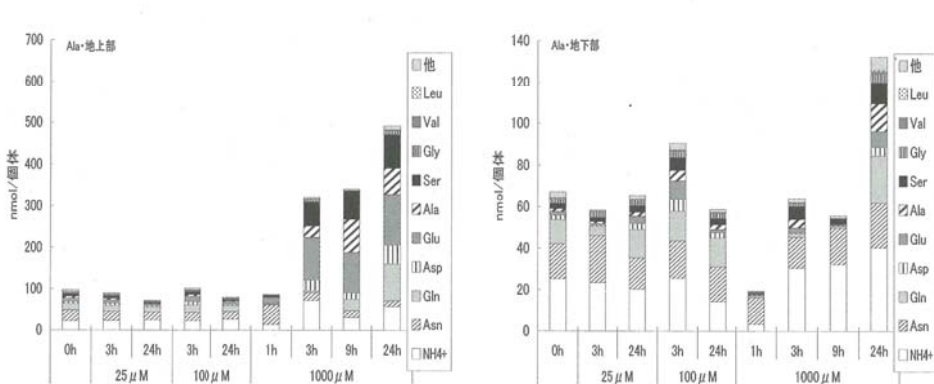


図 5-4-3 異なる濃度のアラニンを 24 時間吸収させたイネ幼植物地上部、地下部の遊離アミノ酸量

表 5-4-4 異なる濃度の¹⁵N, ¹³C-バリンを 24 時間吸収させたイネ幼植物の地上部、地下部の遊離アミノ酸量およびアンモニアイオン量 (nmol/ 個体)

部位	N源	濃度	時間	NH4	Asn	Gln	Asp	Glu	Ala	Ser	Gly	Val	Leu	Thr	Pro	Lys	Cys	Tyr	Met	Ile	Arg	Phe	計	
地上	Val	25μM	3h	22 (22)	22 (22)	16 (16)	6 (6)	10 (10)	4 (4)	8 (8)	4 (4)	3 (3)	2 (2)	2 (2)	0 (0)	1 (1)	0 (0)	1 (1)	0 (0)	0 (0)	0 (0)	0 (0)	1 (1)	98 (100)
			24h	23 (22)	13 (13)	15 (14)	5 (5)	6 (6)	4 (4)	9 (9)	3 (3)	8 (8)	16 (15)	1 (1)	0 (0)	1 (1)	0 (0)	0 (0)	0 (0)	0 (0)	0 (0)	1 (1)	105 (100)	
		100μM	3h	25 (27)	21 (23)	12 (12)	5 (5)	7 (8)	3 (3)	7 (8)	4 (4)	3 (3)	5 (5)	1 (1)	0 (0)	1 (1)	0 (0)	0 (0)	0 (0)	0 (0)	0 (0)	0 (0)	0 (1)	93 (100)
			24h	25 (20)	15 (12)	13 (10)	6 (5)	9 (7)	3 (3)	12 (9)	3 (2)	11 (9)	25 (20)	1 (1)	0 (0)	1 (0)	0 (0)	0 (0)	0 (0)	0 (0)	0 (0)	0 (0)	1 (1)	126 (100)
		1000μM	1h	4 (6)	27 (41)	2 (3)	2 (3)	16 (25)	0 (0)	8 (13)	1 (2)	5 (7)	0 (0)	0 (0)	0 (0)	0 (1)	0 (0)	66 (100)						
			3h	0 (0)	3 (7)	0 (0)	0 (0)	11 (33)	0 (0)	6 (18)	0 (0)	12 (35)	2 (5)	0 (0)	33 (100)									
			9h	17 (5)	28 (9)	10 (3)	3 (1)	54 (17)	0 (0)	45 (15)	5 (2)	80 (26)	69 (22)	0 (0)	0 (0)	1 (0)	0 (0)	1 (0)	0 (0)	0 (0)	0 (0)	0 (0)	0 (0)	312 (100)
			24h	31 (7)	37 (8)	53 (12)	23 (5)	97 (21)	3 (1)	53 (12)	13 (3)	75 (17)	66 (15)	0 (0)	0 (0)	1 (0)	0 (0)	1 (0)	0 (0)	0 (0)	0 (0)	0 (0)	0 (0)	452 (100)
地下	Val	25μM	3h	22 (32)	21 (30)	10 (14)	2 (3)	2 (3)	1 (2)	4 (2)	3 (5)	1 (2)	1 (1)	1 (1)	0 (0)	0 (1)	0 (0)	68 (100)						
			24h	20 (27)	21 (27)	9 (12)	2 (2)	2 (3)	1 (2)	6 (5)	3 (5)	2 (3)	7 (9)	1 (1)	0 (0)	0 (1)	0 (0)	76 (100)						
		100μM	3h	26 (36)	22 (31)	7 (10)	2 (3)	2 (2)	1 (2)	4 (6)	3 (5)	1 (2)	1 (2)	1 (1)	0 (0)	0 (1)	0 (0)	70 (100)						
			24h	12 (19)	16 (25)	9 (15)	2 (3)	2 (2)	1 (2)	7 (11)	3 (4)	2 (4)	8 (13)	1 (1)	0 (0)	64 (100)								
		1000μM	1h	2 (10)	9 (45)	1 (5)	0 (1)	0 (3)	1 (0)	1 (6)	1 (3)	5 (25)	0 (1)	0 (1)	0 (2)	0 (0)	0 (1)	0 (0)	0 (0)	0 (0)	0 (0)	0 (0)	0 (0)	20 (100)
			3h	1 (2)	9 (27)	1 (2)	0 (1)	0 (2)	1 (0)	0 (12)	0 (1)	15 (43)	3 (8)	0 (1)	0 (0)	1 (1)	0 (0)	0 (1)	0 (0)	0 (0)	0 (0)	0 (0)	0 (0)	34 (100)
			9h	31 (32)	5 (5)	1 (1)	1 (1)	1 (1)	0 (0)	14 (15)	1 (1)	24 (24)	20 (20)	0 (0)	99 (100)									
			24h	30 (23)	33 (26)	2 (2)	0 (0)	1 (1)	0 (0)	18 (14)	1 (1)	23 (18)	18 (14)	0 (0)	0 (0)	1 (1)	0 (0)	127 (100)						

()内は、遊離アミノ酸とアンモニウム量の合計に対する割合 %

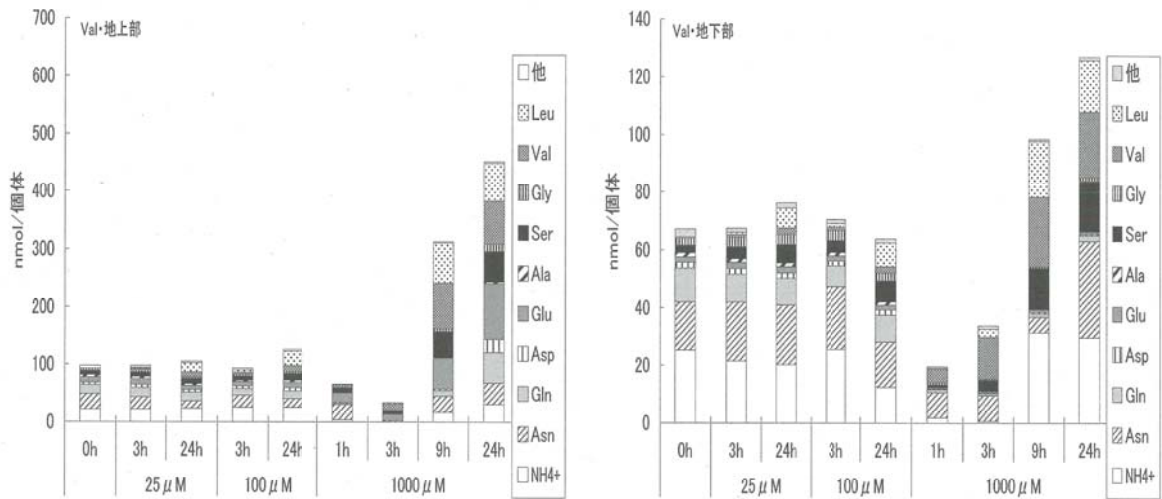


図 5-4-4 異なる濃度のバリンを 24 時間吸収させたイネ幼植物地上部、地下部の遊離アミノ酸

表 5-4-5 異なる種類のアミノ酸で 6 日間生育させたイネ幼植物の地上部、地下部の遊離アミノ酸量およびアンモニアイオン量 (nmol/ 個体)

部位	N源	濃度	時間	NH4	Asn	Gln	Asp	Glu	Ala	Ser	Gly	Val	Leu	Thr	Pro	Lys	Cys	Tyr	Met	Ile	Arg	Phe	計	
地上	NH ₄ ⁺	1000μM	6d	155 (12)	292 (22)	175 (13)	117 (9)	289 (22)	93 (7)	89 (7)	23 (2)	20 (2)	7 (1)	39 (3)	18 (1)	12 (1)	2 (0)	2 (0)	3 (0)	-3 (0)	3 (0)	5 (0)	0 (0)	1341 (100)
	Gln			122 (16)	13 (2)	46 (6)	132 (17)	201 (27)	95 (12)	87 (12)	8 (1)	11 (2)	3 (0)	12 (2)	9 (1)	6 (1)	2 (0)	4 (1)	3 (1)	1 (0)	5 (1)	0 (0)	760 (100)	
	Ala			111 (20)	9 (2)	30 (6)	85 (16)	156 (29)	48 (9)	52 (10)	5 (1)	9 (2)	2 (0)	9 (2)	8 (1)	5 (1)	2 (0)	3 (1)	3 (1)	2 (1)	5 (1)	0 (0)	545 (100)	
地下	NH ₄ ⁺	1000μM	6d	121 (19)	134 (21)	151 (24)	30 (5)	70 (11)	33 (5)	35 (6)	6 (1)	10 (2)	4 (1)	9 (1)	10 (2)	8 (1)	2 (0)	1 (0)	3 (0)	3 (1)	6 (1)	10 (2)	0 (0)	643 (100)
	Gln			100 (29)	32 (10)	61 (18)	23 (7)	31 (9)	33 (10)	25 (7)	5 (2)	1 (0)	0 (0)	5 (2)	6 (2)	4 (1)	2 (1)	3 (1)	2 (1)	3 (1)	5 (2)	0 (0)	341 (100)	
	Ala			102 (43)	6 (3)	27 (11)	16 (7)	25 (10)	17 (7)	14 (6)	3 (1)	1 (1)	0 (0)	4 (2)	5 (2)	3 (1)	2 (1)	2 (1)	2 (1)	2 (1)	8 (3)	0 (0)	239 (100)	

()内は、遊離アミノ酸とアンモニウム量の合計に対する割合 %

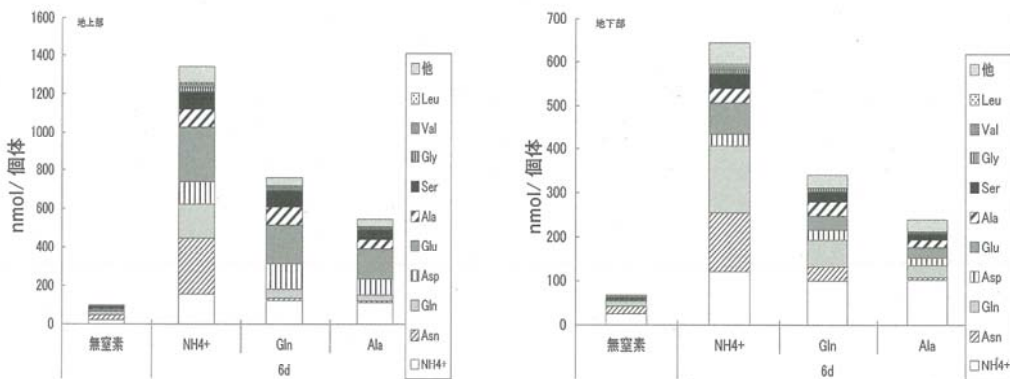


図 5-4-5 異なる種類のアミノ酸で 6 日間生育させたイネ幼植物の地上部、地下部の遊離アミノ酸量およびアンモニアイオン量 (nmol/ 個体)

として利用してアミノ酸を合成した場合、質量分布が各アミノ酸のアミノ基数により、+1 もしくは +2 高い質量側へシフトする。質量の増加する順は、地下部では、アンモニアイオン、グルタミン>アラニン、アスパラギン酸、グルタミン酸>アスパラギン、セリン>バリン、ロイシンであった。地上部では、グルタミン、グルタミン酸>アスパラギン酸、アンモニアイオン、アラニン、セリン>アスパラギン>バリン、ロイシン、グリシンであった。

図 5-4-7 に、 $^{15}\text{N}^{13}\text{C}$ - 安定同位体二重標識グルタミン (窒素濃度 1000 μM) を 24 時間吸収させたイネ幼植物の地上部と地下部の主な遊離アミノ酸の質量分布を示した。質量の増加する順は、地下部では、グルタミン > グルタミン酸、アスパラギン酸 > セリン、アラニンであった。地上部では、グルタミン > グルタミン酸、アスパラギン酸 > セリン > グリシンであった。グルタミン、グルタミン酸の増加は、窒素数 (グルタミン 2、グルタミン酸 1) 以上の増加を示しており、炭素も含む代謝の結果と考えられた。

図 5-4-8 に、 $^{15}\text{N}^{13}\text{C}$ - 安定同位体二重標識アラニン (窒素濃度 1000 μM) を 24 時間吸収した地上部と地下部の主な遊離アミノ酸ごとの質量分布を示した。質量の増加する順は、地上部、地下部とも、グルタミン、アスパラギン酸、グルタミン酸 > アラニン > セリンであった。

図 5-4-9 に、 $^{15}\text{N}^{13}\text{C}$ - 安定同位体二重標識バリン (窒素濃度 1000 μM) を 24 時間吸収した地上部と地下部の主な遊離アミノ酸ごとの質量比を示した。質量の増加する順は、地上部、地下部とも、バリン > ロイシンであった。

C 質量シフトを示した遊離アミノ酸とそれから推測される吸収アミノ酸の代謝経路

表 5-4-6 に窒素濃度 1000 μM の $^{15}\text{N}^{13}\text{C}$ -アミノ酸を 24 時間吸収させたイネ幼植物中の遊離アミノ酸に対する質量シフトした遊離アミノ酸割合とアミノ酸量を示し、図 5-4-10 に質量シフトした遊離アミノ酸の経時変化を示した。

^{15}N - 安定同位体塩化アンモニアを吸収したイネ幼植物の質量シフトを示した遊離アミノ酸で増加したものは、地下部では、グルタミン、アスパラギン、アラニン、グルタミン酸、アスパラギン酸、セリンで、地上部では地下部で増加したアミノ酸とグリシンであった。

$^{15}\text{N}^{13}\text{C}$ - 安定同位体二重標識グルタミンを吸収したイネ幼植物では、地下部でグルタミン、アスパラギン、セリン、地上部では地下部で増加したアミノ酸に加えグルタミン酸、アスパラギン酸、アラニンであった。

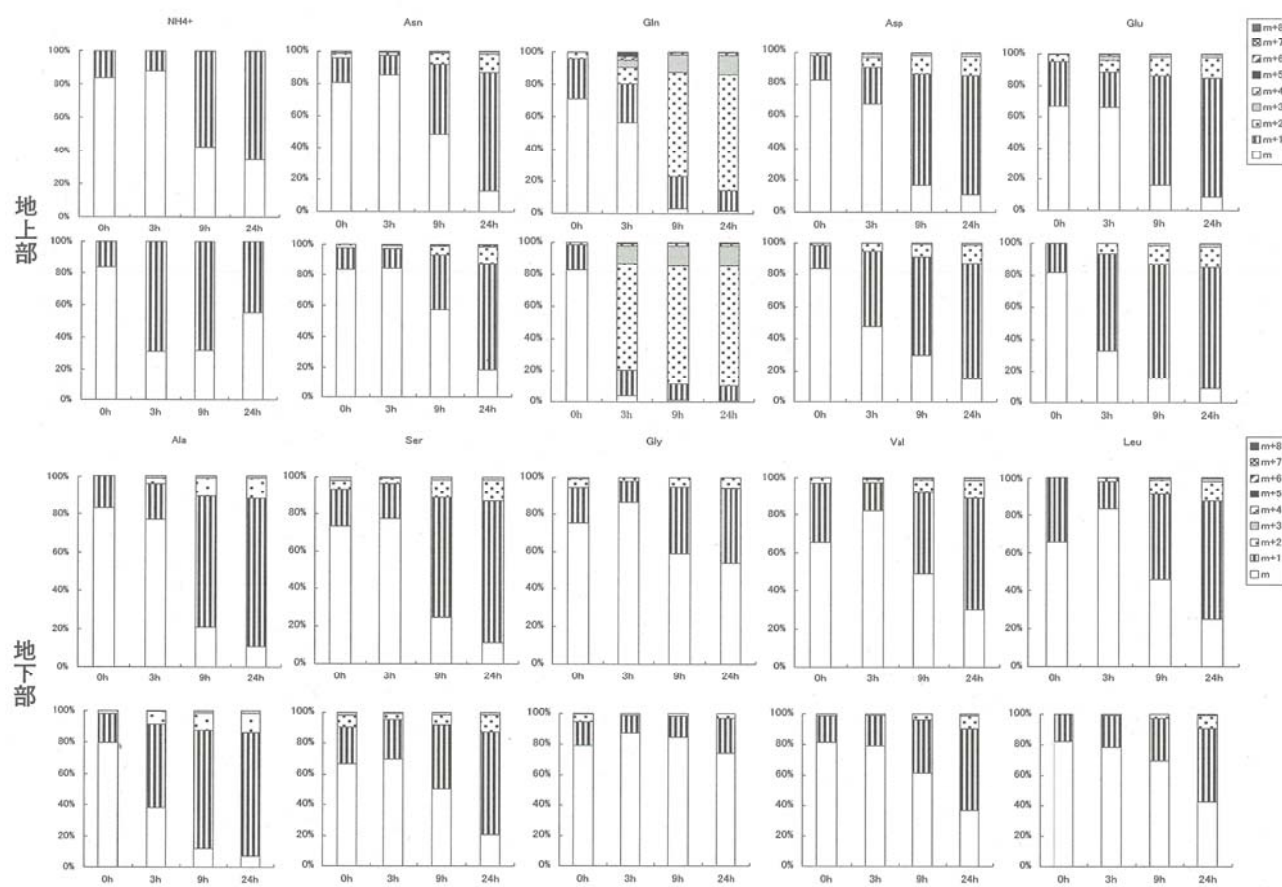
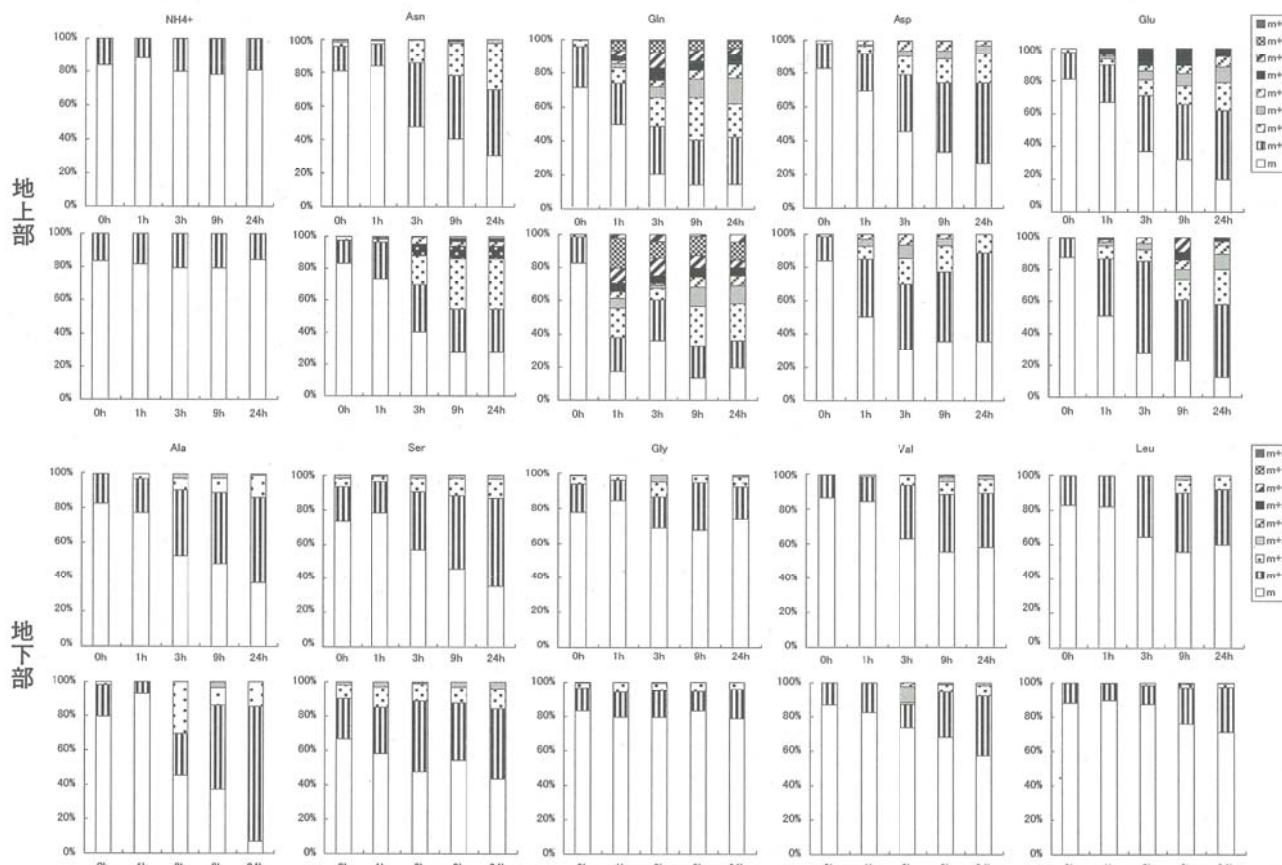
$^{15}\text{N}^{13}\text{C}$ - 安定同位体二重標識アラニンを吸収したイネ幼植物では、地下部でグルタミン、アスパラギン、アラニン、地上部では地下部で増加したアミノ酸に加えグルタミン酸、アスパラギン酸、セリンであった。

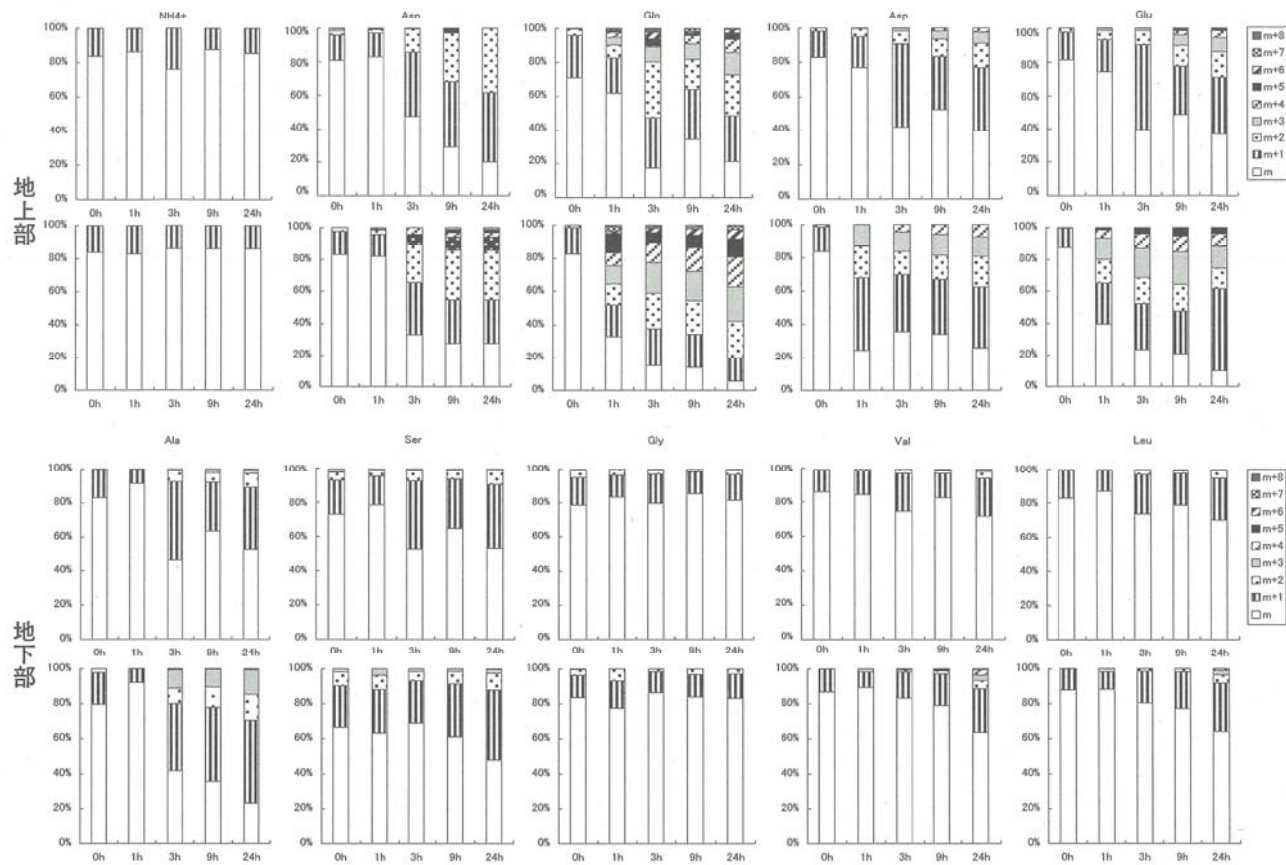
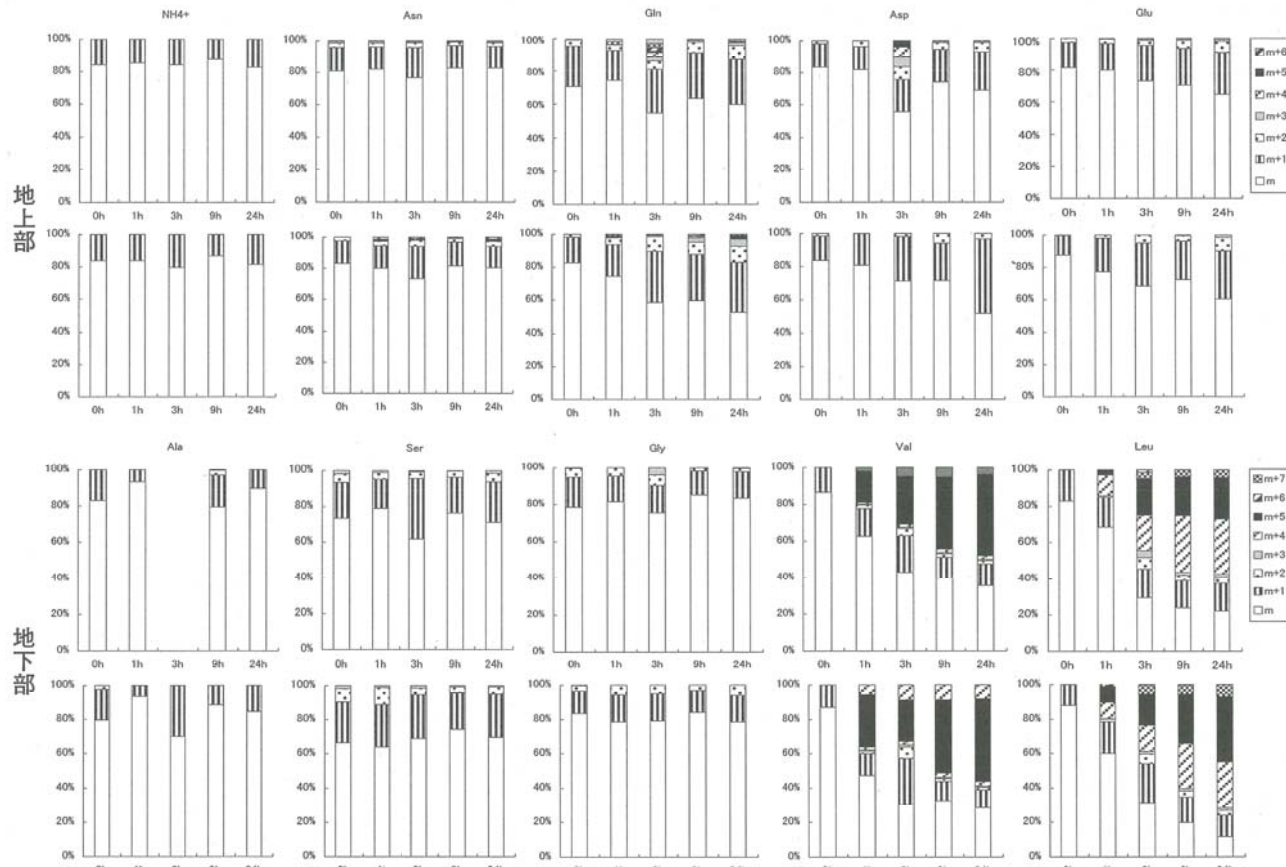
$^{15}\text{N}^{13}\text{C}$ - 安定同位体二重標識バリンを吸収したイネ幼植物では、地下部では、バリンとロイシンのみで、地上部では、地下部で増加したアミノ酸に加えグルタミン酸、グルタミンであった。

D 考察

窒素濃度 1000 μM の塩化アンモニアを吸収したイネ幼植物では、同濃度のアミノ酸を吸収したイネ幼植物より遊離アミノ酸量の増加量は多かった。第 1 節から塩化アンモニアはアミノ酸に比べて吸収が早く、吸収量が多い (V_{max} 3.4 ~ 12.8 μmol/g/h Wang et al. 1993) ことから、遊離アミノ酸量の増加量も多かったと考えられる。また、本節の実験は、はじめの 6 日間を無窒素条件で生育させたため、吸収実験開始時に十分量の同化産物が地上部、地下部に集積していたことが予想された。アンモニア同化時は、地上部でつくられた同化産物と合成するが、今回の実験条件では、この同化産物の量は制限要因とならないことが考えられた。

これまでの研究から、アンモニアはグルタミン合成酵素 (GS) を触媒としてグルタミンのアミド基に同化し、生成したグルタミンはグルタミン酸合成酵素 (GOGAT) を触

図 5-4-6 1000 μM ・ ^{15}N -アンモニアを 24 時間吸収させたイネ幼植物の地上部と地下部の遊離アミノ酸の質量分布図 5-4-7 1000 μM ・ ^{15}N , ^{13}C -グルタミンを 24 時間吸収させたイネ幼植物の地上部・地下部の遊離アミノ酸の質量分布

図 5-4-8 1000μM · ¹⁵N, ¹³C-アラニンを 24 時間吸収させたイネ幼植物の地上部・地下部の遊離アミノ酸の質量分布図 5-4-9 1000μM · ¹⁵N, ¹³C-バリンを 24 時間吸収させたイネ幼植物の地上部・地下部の遊離アミノ酸の質量分布

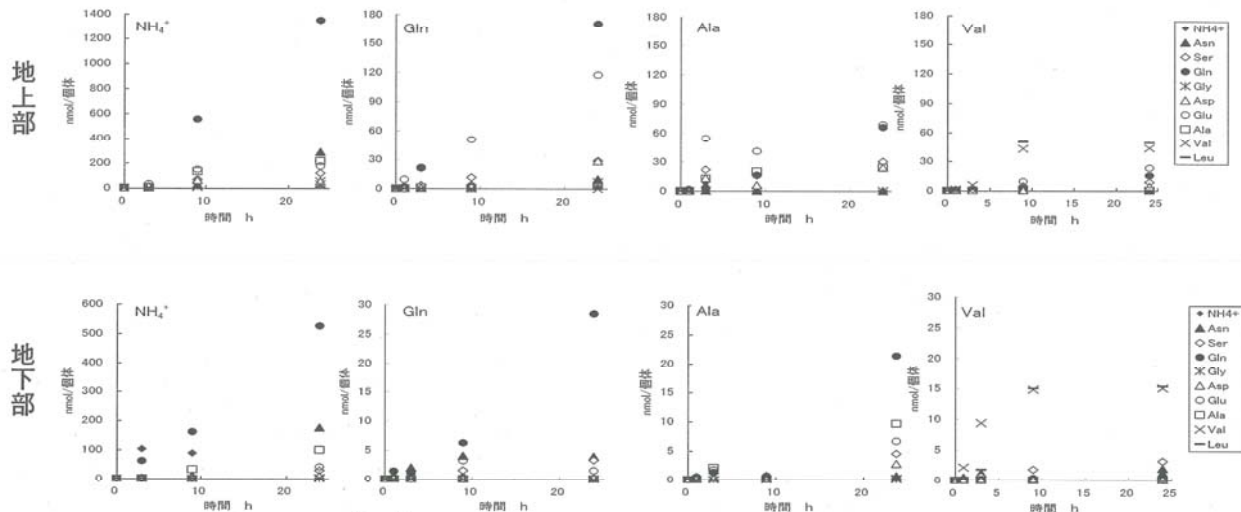


図 5-4-10 窒素濃度 $1000\mu\text{M}$ の $^{15}\text{N}, ^{13}\text{C}$ -アミノ酸を 24 時間吸収させたイネ幼植物中の質量シフトを示した遊離アミノ酸の経時変化

表 5-4-6 窒素濃度 $1000\mu\text{M}$ の $^{15}\text{N}, ^{13}\text{C}$ -アミノ酸を 24 時間吸収させたイネ幼植物中の遊離アミノ酸に対する質量シフトを示した遊離アミノ酸割合(%)と量(nmol/個体)

遊離アミノ酸に対する質量シフトを示したアミノ酸割合(%)										質量シフトを示した遊離アミノ酸量(nmol)															
供試形態	吸収時間	NH_4^+	Asn	Ser	Gln	Gly	Asp	Glu	Ala	Val	Leu	計	供試形態	吸収時間	NH_4^+	Asn	Ser	Gln	Gly	Asp	Glu	Ala	Val	Leu	計
・地上部	地下部																								
地上部		NH_4^+	3h	0	3	9	34	2	20	22	10	3	3	NH_4^+	3h	0	1	12	8	1	14	32	9	1	1 78
			9h	50	43	71	97	31	80	81	76	42	46		9h	80	29	67	556	19	64	149	134	9	3 1107
			24h	60	85	87	99	37	87	90	87	64	70		24h	52	289	121	1350	55	54	177	217	30	10 2355
地下部		Ala	1h	0	20	7	27	4	10	13	0	1	0	Ala	1h	0	1	0	1	0	0	2	0	0	0 4
			3h	11	48	38	80	6	51	53	46	12	13		3h	8	9	22	3	1	13	54	13	0	0 114
			9h	0	59	24	60	2	38	42	25	3	7		9h	0	10	16	16	0	6	41	20	0	0 100
			24h	0	85	37	75	4	53	57	38	15	17		24h	0	12	30	67	0	24	69	24	0	0 215
地上部		Gln	1h	0	22	8	42	3	18	21	9	1	3	Gln	1h	0	2	1	2	0	1	9	0	0	0 15
			3h	6	47	33	77	18	47	56	38	0	0		3h	1	3	3	22	0	1	21	1	0	0 49
			9h	8	59	46	84	19	61	61	43	35	34		9h	0	8	12	3	0	3	51	0	0	0 74
			24h	5	70	59	84	12	69	76	56	0	29		24h	2	64	29	171	7	29	118	3	0	0 368
地下部		Val	1h	0	4	7	12	5	4	6	0	26	19	Val	1h	0	1	1	0	0	0	1	0	1	0 4
			3h	1	48	27	35	11	34	14	0	49	65		3h	0	0	2	0	0	0	2	0	0	1 10
			9h	0	59	10	25	2	13	17	7	54	72		9h	0	1	5	2	0	0	9	0	43	50 110
			24h	3	85	16	29	2	19	24	0	58	74		24h	1	1	9	16	0	4	23	0	43	49 146

媒として 2 分子のグルタミン酸を生成することが明らかにされている(山谷 2001)。このグルタミン酸から、アスパラギン酸、アラニン、アスパラギンがすぐに合成される(平井 2001)。アスパラギン酸から、リジン、スレオニン、メチオニンが合成される。本試験の結果でも、遊離アミノ酸量の増加、およびアミノ酸の質量数の増加から、グルタミン、グルタミン酸、アスパラギン酸、アスパラギン、アラニンなどへのアミノ基が転移していることが確認された。

グルタミンを吸収した場合、窒素濃度が $100\mu\text{M}$ までは遊離アミノ酸量や組成には大きな影響はなかった。第四章より、グルタミンの V_{max} は $25\mu\text{M}$ で $0.3\mu\text{mol/g/h}$ 、 $100\mu\text{M}$ で $0.5\mu\text{mol/g/h}$ で、植物個体重約 0.1 g をかけて計算すると、個体あたりではそれぞれ 30 nmol/h 、 50 nmol/h となる。この数値から計算すると 1 時間アミノ酸を吸収すると、0 時間の地下部の全遊離アミノ酸量(67 nmol/個体)より少し少ない程度のアミノ酸が体内へ吸

取されるはずであるが、吸収されたグルタミンは、タンパク質や有機酸への代謝が円滑に進み、遊離アミノ酸量はほとんど増加しなかったと考えられる。一方、窒素濃度が $1000\mu\text{M}$ になると、吸収速度が増加し、グルタミンの吸収量が多くなっていたが、その場合もグルタミンがイネ幼植物の生育を阻害するなどの現象は見られなかつた。試験開始時のイネ幼植物は、発芽から6日間、無窒素環境で生育したものであり、窒素欠乏に近い状態であると考えられる。したがって、遊離アミノ酸量も少ないと考えられ、多量のグルタミンが吸収され、遊離アミノ酸量も増加したと推察される。

また、質量数の増加は、標識グルタミン由来の ^{15}N 、 ^{13}C がそれぞれ転移したことでおこる。質量数が1または2の増加は、グルタミンのアミノ基転移による窒素の転移が要因と考えられるが、遊離グルタミン、グルタミン酸の質量数の増加は、窒素数（グルタミン2、グルタミン酸1）以上の増加を示しており、アミノ基転移のみでなく、吸収されたグルタミンの炭素骨格もグルタミン酸へ代謝されていることが考えられる。これは、吸収されたグルタミンは、アンモニアの同化でこれまで研究されているのと同様に、グルタミン→グルタミン酸への合成が進んでいることを示している。地下部では、質量数が増加したグルタミン酸量は増加していないため、グルタミン酸からアスパラギン酸、アスパラギンへのアミノ基転移が即座におこっているものと考えられる。グルタミンはアミノ酸合成の起点であり、グルタミンを吸収した場合でも容易に代謝されるため、植物は積極的に窒素源として利用して、生育が促進されると推測される。

アラニンでも、窒素濃度が $100\mu\text{M}$ までは遊離アミノ酸量や組成には大きな影響はなかった。グルタミンと同様で、窒素濃度が $100\mu\text{M}$ までは吸収速度が遅いため、吸収量が少なく、遊離アミノ酸量はほとんど増加しないと考えられた。窒素濃度が $1000\mu\text{M}$ では、吸収量が大きく増加し、遊離アミノ酸量が大きく増加している。

質量数の増加から、アラニン由来の窒素は、地下部でグルタミン、グルタミン酸、アスパラギン酸への転移が考えられる。アラニンの炭素部分がグルタミンに導入されていることが早くからみられることから、アラニンから有機酸を経由して、アラニン由来の炭素骨格がグルタミンに取り入れられ、グルタミン酸、アスパラギン酸へ代謝していく可能性が示唆された。また、地上部で観察されるアラニンは、質量数の増加が1程度であるため、外部から吸収されたものがそのまま地上部へ移行するのではなく、アミノ基部分が基転移によりオキサロ酢酸へ移り、代謝して合成されたものと考えられる。アラニンは、グルタミンのようにアミノ酸合成の起点ではないが、代謝され窒素源として利用して植物は生育していると考えられる。し

かし、アラニンを一度グルタミンに代謝して利用しているため、生育がグルタミンより劣ることのではないかと推察される。

バリンでは、ロイシン以外、他のアミノ酸への転移がなく、バリンとロイシンが蓄積していた。バリンは、アミノ酸合成の末端であり、ロイシン以外の他のアミノ酸へ代謝することができない。そのため組織内に蓄積してしまい、生育が阻害されたと推察される。

以上より、植物はいずれの種類のアミノ酸も吸収するが、吸収後の代謝過程により、植物生育によい影響を与えるかどうかが決まると考えられた。

第五節 まとめ

イネ幼植物の生育が良好であったグルタミン、アラニン、阻害したバリンについて、吸収されたアミノ酸の地下部、地上部における代謝経路を解明するため、安定同位体二重標識アミノ酸を与えるトレーサー実験を行った。

植物は、吸収量に差はあるがいずれの種類のアミノ酸も吸収しており、グルタミンを吸収したイネ幼植物の遊離アミノ酸は、地下部では、グルタミン、アスパラギン、地上部では、グルタミン、アスパラギン、グルタミン酸、アスパラギン酸、セリンが増加した。吸収されたグルタミンは、アンモニアイオンの窒素同化とほぼ同様にGS-GOGAT経路に取り込まれ、グルタミン酸、アスパラギン酸へアミノ基が転移し、他のアミノ酸合成の窒素源として使用されたと考えられた。第三節と第四節から、吸収された全 ^{15}N のうち、遊離アミノ酸の質量シフトが ^{15}N -アミノ基転移により起こったとして、遊離アミノ酸画分に存在する ^{15}N とそれ以外（タンパク質や核酸に取り込まれたと想定）の画分に存在する ^{15}N を計算した（表5-5-1、図5-5-1）。グルタミン態の窒素はアンモニアイオンと比較すると、特に地下部において90%近くがタンパク質合成に利用されており、遊離アミノ酸画分に存在する割合は低かった。グルタミン態として吸収された窒素は、窒素同化の最初の段階において地上部からの光合成産物を必要とせず、地上部からの同化産物の供給に制限されることなくタンパク質や核酸などに比較的早く変換できることが示唆された。

一方、グルタミン態で吸収した炭素は、24時間後には地下部では55%、地上部では60%近くが消失しており、窒素をアミノ基転移により利用した後は、TCAサイクルの有機酸などに組み込まれ呼吸により二酸化炭素として放出されることが示唆された。そこで、吸収されたアミノ酸から得られるエネルギーを呼吸量やATPとして試算した。吸収されたアミノ酸がグルタミンでは、グルタミンから得られるエネルギーは生長に必要なエネルギーの4.1～9.4%に相当した。生育に必要な全エネルギーか

らグルタミンの分解で得たエネルギーを差し引いた量は、アンモニアで生育したイネ幼植物と同等になった。窒素源としてのグルタミンはアンモニアイオンをグルタミンにするために通常使われているグルタミン酸、ATPを必要とせず、地上部からの同化産物の消費、エネルギーの使用がない。さらにグルタミンの代謝から得られるエネルギーが、そのまま生育にプラスされることにより、主に根系の発達が旺盛になった理由であると考えられる。

アラニンを吸収したイネ幼植物では、吸収されたアラニンはグルタミンにアミノ基を転移させ、その後はグルタミンと同様な代謝経路となっていると考えられた。アラニンを吸収させたイネ幼植物の生育は、塩化アンモニウムより優るが、グルタミンで生育したイネ幼植物に比べて生育は劣る。生育に必要な全エネルギーからアラニンの分解で得たエネルギーを差し引いた量は、アンモニアで生

育したイネ幼植物よりわずかに低かった。これは、アラニンが植物体内で利用されるためには、グルタミンへ一度代謝しなければならず、そのための代謝の基質とエネルギーの消費となるためであると考えられる。

吸収されたバリンは、代謝して生成されるアミノ酸がロイシンのみであり、他のアミノ酸等へは代謝が進まないため体内で蓄積てしまい、生育を阻害したものと推測された。

以上の結果から、グルタミンは地上部からの同化産物を使用せずに速やかに窒素をタンパク質合成へ使用することが可能であり、呼吸により炭素部分も使用することで、特に地下部において取り込んだ窒素を根系発達に効率よく利用することが、無機態窒素との異なる点と考えられた。

表 5-5-1 ^{15}N 標識アミノ酸を吸収させたイネ幼植物中の 24 時間後の ^{15}N の形態

供試 形態	部位	吸収された	遊離アミノ酸	遊離アミノ酸	全 ^{15}N に対する 遊離アミノ酸 画分の ^{15}N 率
		全 $^{15}\text{N}^*$	画分の $^{15}\text{N}^{**}$	画分以外の ^{15}N	
		(A) nmol	(B) nmol	(A-B) nmol	(B/A) %
NH_4^+	地上部	13292	3995	9298	30
	地下部	3226	1620	1606	50
	計	16518	5614	10904	34
Gln	地上部	1718	549	1169	32
	地下部	787	71	717	9
	計	2505	619	1886	25
Ala	地上部	1137	282	855	25
	地下部	889	69	821	8
	計	2026	351	1676	17
Val	地上部	406	163	243	40
	地下部	689	41	648	6
	計	1095	204	891	19

* 第五章第三節より

** 第五章第四節より